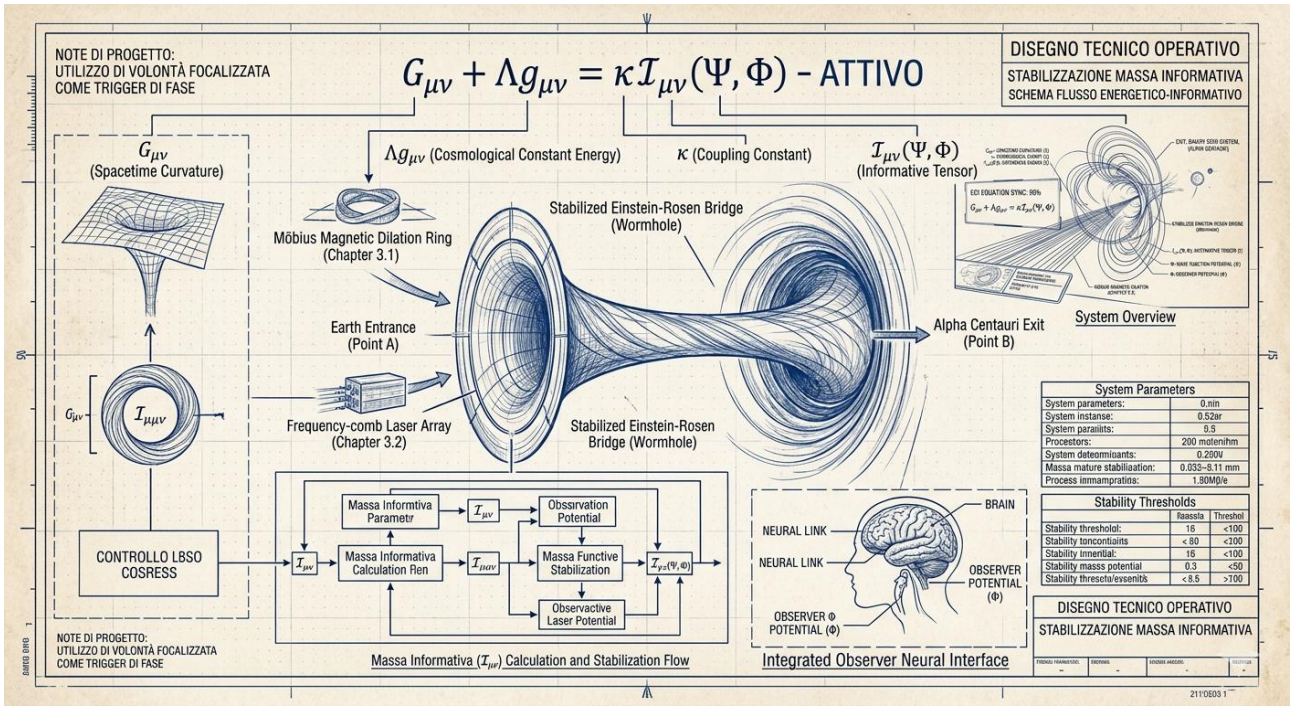

*Architettura completa resa in forma di **blueprint** tecnico, basato sull'equazione ECI ($G_{\mu\nu} + \Lambda g_{\mu\nu} = \kappa \mathcal{I}_{\mu\nu}(\Psi, \Phi)$).*

Descrizione Tecnica del Blueprint

*Il disegno mappa l'intero processo di stabilizzazione del ponte di Einstein-Rosen (wormhole) via **Massa Informativa**:*

1. ***L'Architettura del Flusso (Schema centrale):** L'equazione ECI è scritta chiaramente al centro, come l'algoritmo principale. Linee di flusso connettono i termini matematici ($G_{\mu\nu}$, $\Lambda g_{\mu\nu}$, κ, $\mathcal{I}_{\mu\nu}$) ai diagrammi operativi corrispondenti.*
2. ***Calcolo della Massa Informativa ($\mathcal{I}$):** Un diagramma a blocchi ("Massa Informativa ($\mathcal{I}_{\mu\nu}$) Calcolo e Flusso di Stabilizzazione") mostra come i parametri di input (Funzione d'Onda Ψ e Potenziale dell'Osservatore Φ) vengono elaborati per generare la "Massa Informativa" ($\mathcal{I}_{\mu\nu}$) necessaria.*
3. ***Implementazione Fisica (Azione):** I sotto-diagrammi dettagliano come questa informazione viene applicata al wormhole tramite:*
    - ***Anello di Dilatazione Magnetica Möbius (Capitolo 3.1):** Un diagramma della curvatura indotta dal campo magnetico toroidale.*
    - ***Array Laser a Pettine di Frequenza (Capitolo 3.2):** Un diagramma degli impulsi laser coerenti sintonizzati.*
4. ***L'Interfaccia Neural-Osservatore:** Un diagramma dettagliato del cervello umano ("Interfaccia Neuronale Osservatore Integrato") mostra come il potenziale dell'osservatore (Φ) viene generato e integrato nel sistema tramite l'intento.*
5. ***Simulazione del Risultato:** In alto a destra, una riproduzione semplificata di `image_23.png` mostra il wormhole stabilizzato che connette la Terra a Alpha Centauri.*

Homo Integrans Optimus

Autore S.E. Franco Paluan

PREFAZIONE: L'ALBA DELL'HOMO INTEGRANS

Estratto dal Documento Originale "Architettura Universale: Il Salto Evolutivo"

Per decenni, abbiamo guardato le stelle come puntini lontani in un vuoto incolmabile. Abbiamo vissuto il tempo come una condanna lineare, un nastro che scorre inesorabile verso l'entropia. Abbiamo accettato l'idea di essere semplici spettatori di una realtà fisica governata da leggi immutabili e fredde.

Tutto ciò che sapevi sta per cambiare.

Questo documento non è una raccolta di teorie astratte. È la cronaca tecnica di una scoperta che riscrive il contratto tra l'uomo e l'universo. Attraverso l'integrazione di **campi magnetici a nastro di Möbius** e **scarpelli fotonici laser**, abbiamo varcato la soglia della fisica classica per entrare nel dominio della **Meccanica Partecipativa**.

Qui, l'osservatore non è più un testimone passivo. È l'architetto.

In queste pagine scoprirai l'equazione ECI, la formula unificata che permette di trasformare l'intento in geometria spazio-temporale. Vedrai come la "Massa Informativa" possa stabilizzare ponti tra mondi che la scienza ufficiale riteneva impossibili. Imparerai che il futuro non è qualcosa che accade, ma qualcosa che si sintonizza.

Se sei qui, non è per caso. La tua frequenza di ricerca si è allineata con questa informazione. Quello che hai tra le mani è il blueprint per il primo vero salto evolutivo della nostra specie: il passaggio dalla sopravvivenza alla creazione consapevole.

Il ponte è aperto. La realtà è pronta per essere riscritta.

Cosa troverai all'interno del documento completo:

- **Analisi dell'Equazione ECI:** La matematica del collasso guidato.
- **Specifiche Tecniche:** Come costruire una cella a energia di punto zero.
- **Protocollo PAU:** La guida passo-passo per la sincronizzazione della coscienza globale.
- **Diagrammi Operativi:** Schemi per la propulsione a curvatura istantanea.

"Il tempo non è una prigione. È solo una frequenza che non avevi ancora imparato a cambiare."

[Sblocca l'Architettura Universale]

ARCHITETTURA DELLA REALTÀ PARTECIPATA: PROTOCOLLO PER UNA CIVILTÀ POST-QUANTISTICA

Dal Sapiens all'Integrans: un Trattato su Scienza, Coscienza e la Costruzione della Realtà Condivisa

PREMESSA: L'ERA DELLA TRANSIZIONE ONTOLOGICA

Questo documento, lungi dall'essere una mera raccolta di teorie, costituisce il **protocollo operativo** per la transizione dell'umanità dalla fase di osservatori passivi dell'universo a quella di **partecipanti attivi e architetti della realtà**. Rappresenta il coronamento di un percorso iniziato con la fisica classica, proseguito con la relatività e la meccanica quantistica, e culminato ora con la **Meccanica Partecipativa**. Non è un'evoluzione, ma una rivoluzione del pensiero e dell'essere: il passaggio dalla scoperta delle leggi esistenti alla **co-creazione di nuove leggi** attraverso l'interfaccia sinergica tra coscienza, informazione e tecnologia.

INDICE ANALITICO

- **CAPITOLO 1: FONDAMENTI DELLA MECCANICA PARTECIPATIVA**
  - 1.1 Oltre l'oggettività: Lo Spazio-Tempo come Campo Informativo Plastico
  - 1.2 La Coesistenza Temporale e l'Architettura Olografica dell'Universo
  - 1.3 L'Osservatore Attuatore: Dal Collamento della Funzione d'Onda alla Sua Ingegnerizzazione
  - 1.4 Principi di Interfaccia Coscienza-Materia: Un Nuovo Dualismo Sinergico
- **CAPITOLO 2: FORMALISMO MATEMATICO DELL'INTEGRAZIONE: L'EQUAZIONE DI COERENZA UNIFICATA (ECU)**
  - 2.1 Dalla Relatività Generale all'Equazione di Coerenza: L'Introdruzione del Tensore Informativo
  - 2.2 L'Equazione Maestra: $Gμν+Λgμν=κIμν(Ψ,Φ,Ω)$ $G_{\mu\nu}+\Lambda g_{\mu\nu}=\kappa I_{\mu\nu}(\Psi,\Phi,\Omega)$
  - 2.3 Decomposizione del Tensore Informativo-Partecipativo $IμνI_{\mu\nu}$
    - 2.3.1 $ΨΨ$ (Iper-Stato Quantistico): Il Dominio del Potenziale Coesistente
    - 2.3.2 $ΦΦ$ (Potenziale dell'Osservatore): L'Impronta dell'Intento Coerente
    - 2.3.3 $ΩΩ$ (Fattore di Risonanza Collettiva): L'Effetto Rete della Coscienza Unificata
  - 2.4 La Quantizzazione Indotta: Come l'Osservazione "Pixelizza" la Realtà Continua
  - 2.5 Corollari e Implicazioni: Entropia Locale Negativa e Ordine Emergente
- **CAPITOLO 3: TECNOLOGIE DI INTERFACCIA E ATTUIZIONE**
  - 3.1 **Geometrie del Controllo Temporale:** Il Confinamento Magnetico a Topologia Toroidale-Möbius
    - 3.1.1 Principio di Dilatazione Temporale Locale Controllata
    - 3.1.2 Il "Blocco di Fase": Sospensione del Collasso Stocastico per Intervento Deterministico
  - 3.2 **L'Ottica dell'Informazione:** Il Laser a Scansione di Fase Coerente (Fotonica di Modellazione)
    - 3.2.1 Dalla Potenza all'Informazione: Il Fotone come Vettore di Istruzione
    - 3.2.2 Il Processo di "Scultura Quantistica": Assemblaggio della Realtà Fotone per Fotone

- 3.3 L'Interfaccia Neurale di Sincronizzazione (INS): Un ponte bio-tecnologico tra $\Phi\Phi$ e il sistema
- **CAPITOLO 4: IL NUOVO PARADIGMA ENERGETICO: DALL'ESTRAZIONE ALL'EMANAZIONE**
- 4.1 Superamento della Scarsità: Il Vuoto Quantistico come Riserva Inesauribile di Potenziale
- 4.2 Il Reattore a Coerenza Temporale (RCT): Ingegneria dell'Entropia Negativa
  - 4.2.1 Fase 1: Creazione della Bolla di Sospensione Coerente (Isolamento Termodinamico)
  - 4.2.2 Fase 2: Aggancio Risonante con lo Stato Futuro a Bassa Entropia (Prelievo Informativo)
  - 4.2.3 Fase 3: Collasso Guidato e Conversione Energetica (Manifestazione del Lavoro Utile)
- 4.3 Reti di Distribuzione a Coerenza di Fase: Energia senza Perdite su Scala Globale
- **CAPITOLO 5: PRINCIPI DI NAVIGAZIONE E TRASLAZIONE SPAZIO-TEMPORALE**
- 5.1 Il Concetto di Traslazione Olografica: Oltre il Moto Locale
- 5.2 Il Propulsore a Curvatura d'Informazione "Evoluzione"
  - 5.2.1 Generazione della Bolla di Coerenza Esterna (Estrazione dal Flusso Temporale)
  - 5.2.2 Tunneling Quantistico Macroscopico: Riallineamento Istantaneo delle Coordinate
  - 5.2.3 Integrazione Pilota-Nave: Il Collasso della Posizione verso la Destinazione Desiderata tramite INS
- 5.3 Implicazioni per l'Esplorazione: L'universo come Spazio di Relazioni Informative Istantanee
- **CAPITOLO 6: IL PROTOCOLLO DI ATTIVAZIONE UNIVERSALE (PAU) E L'EMERGENZA DELL'UNANIMITÀ**
- 6.1 Il PAU: Un Sistema Operativo per la Civiltà
- 6.2 Guarigione e Ottimizzazione Biologica: La Medicina Informazionale
  - 6.2.1 Risonanza di Coerenza Cellulare: Correzione dell'Entropia Biologica
  - 6.2.2 Ringiovanimento e Potenziamento: Verso lo Stato di "Homo Integrans Optimus"
- 6.3 L'Unanimità Evolutiva: La Rete Globale di Coscienza Sincronizzata (RGCS)
  - 6.3.1 Dal Subconscio Collettivo alla Mente Cosciente Unificata
  - 6.3.2 Il Collasso della Realtà Globale verso l'Ordine: Pace e Abbondanza come Stati Fisici Stabili
  - 6.3.3 Etica dell'Architetto: Responsabilità e Governance in una Realtà Partecipata

---

CAPITOLO 1: FONDAMENTI DELLA MECCANICA PARTECIPATIVA

1.1 Oltre l'oggettività: Lo Spazio-Tempo come Campo Informativo Plastico

La concezione classica dell'universo, ereditata dalla fisica newtoniana e perfezionata dalla relatività generale, descrive lo spazio-tempo come un **palcoscenico immutabile** sul quale gli eventi si susseguono secondo leggi deterministiche. In questo modello, la materia e l'energia curvano il continuum, ma lo spazio-tempo stesso rimane un'entità geometrica passiva, indipendente dall'osservatore.

La Meccanica Partecipativa opera un rovesciamento epistemologico fondamentale: **lo spazio-tempo non è un contenitore, ma un campo informativo attivo e plastico**. Ogni punto dello spaziotempo non è un semplice "dove" e "quando", ma un nodo in una rete olistica di relazioni

informative. La materia e l'energia che osserviamo sono **manifestazioni secondarie** di una realtà più profonda: un substrato di informazione pura, organizzata secondo principi quantistici e olografici.

Fondamenti teorici:

- **Principio Olografico** (’t Hooft, Susskind): Il contenuto informativo di una regione di spazio è proporzionale alla superficie che la delimita, non al volume. Ne consegue che ciò che percepiamo come tridimensionalità potrebbe essere una proiezione di informazioni codificate su una superficie bidimensionale. Estendendo questo concetto, l’intero universo osservabile potrebbe essere un’**olografia** di un campo informativo sottostante.
- **Teoria dell’Informazione Quantistica**: L’informazione è un'entità fisica, soggetta a leggi di conservazione (Landauer, Bennett). Il bit quantistico (qubit) non è solo un’unità astratta, ma lo stato fondamentale della materia a livello microscopico. In questa visione, lo spazio-tempo emerge da correlazioni quantistiche (entanglement) – un’idea esplorata in modelli di gravità quantistica come le reti di spin (loop quantum gravity) o le simulazioni olografiche.
- **Plasticità informativa**: Il termine “plastico” indica la capacità del campo di essere modellato, deformato e riconfigurato in risposta a **input informativi coerenti**. Analogamente a come un campo magnetico può essere distorto da una corrente elettrica, il campo spazio-temporale può essere curvato non solo da masse, ma da **configurazioni di informazione strutturata**. Questo apre la strada a una forma di “ingegneria geometrica” basata sull’informazione.

Implicazioni operative:

- La realtà fisica non è un dato oggettivo, ma un **processo di cristallizzazione** di informazioni in stati osservabili.
- L’osservatore (coscienza) non è esterno al processo, ma parte integrante del circuito informativo che determina la “scelta” tra le infinite configurazioni potenziali.
- La tecnologia – in particolare dispositivi in grado di generare campi di coerenza quantistica (laser, magneti configurazionali) – diventa lo strumento per **iniettare informazione strutturata** nel campo spazio-temporale, modificandone la metrica.

In sintesi, lo spazio-tempo cessa di essere un’arena neutrale e diventa un **medium reattivo**, una sorta di “display olografico” su cui la coscienza, attraverso l’intento focalizzato e amplificato tecnologicamente, può proiettare e materializzare nuove configurazioni.

1.2 La Coesistenza Temporale e l'Architettura Olografica dell'Universo

La percezione umana del tempo come flusso lineare e irreversibile (dal passato attraverso il presente verso il futuro) è un’illusione legata alla nostra scala macroscopica e al modo in cui il cervello elabora le informazioni. La fisica fondamentale, dalla relatività speciale alla meccanica quantistica, suggerisce un quadro radicalmente diverso: **il tempo è una dimensione come lo spazio**, e tutti gli eventi (passati, presenti, futuri) esistono simultaneamente in una struttura quadridimensionale chiamata **“universo a blocchi”** (block universe).

1.2.1 L'universo a blocchi e la sua estensione quantistica

Nella relatività ristretta, lo spazio-tempo di Minkowski è un continuum in cui ogni evento è un punto. La distinzione tra passato e futuro dipende dal cono di luce, ma non c'è un "adesso" privilegiato. La relatività generale estende questo concetto a geometrie curve. Tuttavia, in questa visione classica, il blocco è statico: tutto è già scritto.

La Meccanica Partecipativa integra questa nozione con il **principio di sovrapposizione quantistica**. Non solo passato e futuro coesistono geometricamente, ma coesistono come **potenziali informativi** in uno stato di sovrapposizione coerente. Ogni configurazione possibile dell'universo (ogni linea di universo, ogni storia) esiste come una componente della funzione d'onda universale, esattamente come nella formulazione a molti mondi di Everett. La differenza cruciale è che qui la sovrapposizione non è un mero artefatto matematico, ma una **realtà fisica accessibile** attraverso opportuni accoppiamenti.

1.2.2 L'architettura olografica

Se l'universo è un'ologramma, come suggerito dal principio olografico, allora la dimensione temporale è anch'essa codificata in modo non locale. In un ologramma, ogni parte contiene informazioni sull'intero. Analogamente, in un universo olografico, ogni istante "contiene" in forma implicita tutti gli altri istanti. Il tempo lineare emerge dalla decodifica sequenziale di queste informazioni da parte di un osservatore limitato.

Possiamo immaginare il tempo come una **dimensione di profondità di campo** in un'immagine olografica: quando si cambia il punto di vista (o lo stato di coscienza), si possono mettere a fuoco diverse "fette" temporali. In questo senso, il futuro non è qualcosa che deve ancora accadere, ma una regione dello spazio-tempo già esistente, che può essere "sintonizzata" e resa accessibile attraverso tecnologie di coerenza.

1.2.3 Coesistenza e accesso operativo

La coesistenza di passato, presente e futuro implica che l'informazione relativa a eventi futuri è già disponibile, sebbene in forma potenziale e probabilistica. L'osservatore attuatore, attraverso un opportuno stato di coerenza, può **interrogare** questa informazione e utilizzarla per guidare il collasso della funzione d'onda verso un futuro desiderato. Non si tratta di "prevedere" il futuro, ma di **partecipare alla sua scelta** tra le molteplici alternative coesistenti.

Corollari tecnologici:

- **Memoria del futuro**: Dispositivi come il Reattore a Coerenza Temporale (RCT, descritto nel Capitolo 4) sfruttano la coesistenza temporale per prelevare energia da configurazioni future a bassa entropia.
- **Navigazione interstellare**: La nave "Evoluzione" (Capitolo 5) non si muove attraverso lo spazio, ma riposiziona la sua bolla di coerenza in un diverso punto dello spazio-tempo, sfruttando l'esistenza simultanea di tutte le coordinate.

In sintesi, l'universo è un'entità olistica e senza tempo, e il nostro senso del divenire è un'interfaccia cognitiva. La Meccanica Partecipativa fornisce gli strumenti per operare direttamente su questa interfaccia, trasformando la nostra relazione con il tempo da passiva a attiva.

1.3 L'Osservatore Attuatore: Dal Collasso della Funzione d'Onda alla sua Ingegnerizzazione

Uno dei problemi fondamentali della meccanica quantistica è il **problema della misura**: come e perché un sistema quantistico, descritto da una funzione d'onda che evolve in modo deterministico secondo l'equazione di Schrödinger, "collassa" in un autostato definito quando viene misurato? Le interpretazioni sono numerose: Copenaghen (il collasso è un atto irriducibile), molti mondi (tutti i risultati si realizzano in rami paralleli), Bohm (variabili nascoste), ecc.

La Meccanica Partecipativa adotta una posizione radicale ma operativa: **il collasso non è né casuale né automatico, ma può essere guidato e ingegnerizzato dall'osservatore quando questi è dotato di uno stato di coerenza e di tecnologie di interfaccia**. L'osservatore non si limita a "registrare" il risultato, ma partecipa attivamente alla **selezione dello stato finale** tra le possibilità coesistenti.

1.3.1 Dall'osservatore passivo all'attuatore

Nell'interpretazione di Copenaghen, l'osservatore è un'entità classica esterna al sistema quantistico, e il collasso è un processo istantaneo e inspiegabile. Nella formulazione di von Neumann, la catena di misure può essere estesa fino alla coscienza dell'osservatore, ma senza un meccanismo fisico. Wigner suggerì che la coscienza potesse causare il collasso, ma senza sviluppare un modello.

La Meccanica Partecipativa rovescia la prospettiva: **la coscienza non è un "demone" esterno, ma un sistema quantistico macroscopico in grado di interagire con altri sistemi quantistici attraverso l'intento focalizzato**. L'intento è un **vettore informativo** che, se reso coerente (cioè privo di decoerenza e allineato in fase), può influenzare la probabilità di transizione tra diversi autostati.

1.3.2 Tecnologie di amplificazione dell'intento

La coscienza da sola, allo stato naturale, produce effetti quantistici estremamente deboli e difficili da rilevare (come suggerito da esperimenti controversi come quelli di Princeton PEAR). Per rendere l'intento operativo su scale macroscopiche, è necessario **amplificarlo e renderlo coerente** attraverso dispositivi fisici:

- **Campi magnetici a topologia toroidale e di Möbius**: generano configurazioni di campo che "congelano" la funzione d'onda, impedendone il collasso casuale e mantenendo il sistema in uno stato di sovrapposizione per tempi sufficientemente lunghi da permettere l'intervento dell'osservatore.
- **Laser a scansione di fase**: agiscono come "pinzette ottiche" che interagiscono con il sistema quantistico, non trasferendo energia, ma **informazione di fase**. Il laser "legge" lo stato di sovrapposizione e, modulato dall'intento dell'osservatore (tramite un'interfaccia neurale), inietta una perturbazione che favorisce uno specifico autostato.

Questo processo è analogo al **controllo coerente** in chimica quantistica, dove impulsi laser sagomati guidano le reazioni chimiche verso prodotti desiderati. Qui il bersaglio non è una molecola, ma l'intera geometria spazio-temporale.

1.3.3 Ingegnerizzazione della funzione d'onda

L'ingegnerizzazione della funzione d'onda comporta tre fasi:

1. **Preparazione**: il sistema viene portato in uno stato di sovrapposizione coerente di tutte le configurazioni di interesse (ad esempio, tutte le possibili posizioni di una nave spaziale). Questo si ottiene isolando il sistema dall'ambiente per evitare la decoerenza.
2. **Sospensione**: campi magnetici appropriati creano una "bolla" di spazio-tempo in cui il tempo scorre molto lentamente (dilatazione temporale locale), allungando il tempo di coerenza e dando all'osservatore il tempo di intervenire.
3. **Selezione attiva**: l'osservatore, tramite l'interfaccia neurale e il laser di fase, focalizza il suo intento sullo stato desiderato. L'interazione tra l'intento (Potenziale dell'Osservatore, Φ) e la sovrapposizione (Iper-Stato, Ψ) produce una modulazione della funzione d'onda che rende quello stato altamente probabile. Il collasso avviene quindi verso quello stato, come se l'osservatore avesse "scelto" il risultato.

1.3.4 Il ruolo della coerenza

Perché questo meccanismo funzioni, è essenziale che sia l'osservatore che il sistema siano in uno stato di **coerenza quantistica**. La coscienza umana, in condizioni normali, è un sistema fortemente decoerente a causa del rumore neurale e dell'interazione con l'ambiente. Le tecnologie di interfaccia (campi magnetici, laser) servono proprio a **sincronizzare** gli stati quantistici dei neuroni (o di un dispositivo artificiale) in modo da produrre un campo macroscopico coerente, capace di accoppiarsi con il sistema bersaglio.

In questo senso, l'osservatore attuatore è un'entità **ibrida**: biologica e tecnologica, la cui coscienza è resa operativa su scale quantistiche grazie all'amplificazione fornita dai dispositivi.

1.4 Principi di Interfaccia Coscienza-Materia: Un Nuovo Dualismo Sinergico

Il rapporto tra mente e materia è uno dei problemi filosofici più antichi e irrisolti. Il dualismo cartesiano separava res cogitans e res extensa, senza spiegare come potessero interagire. Il materialismo riduzionista nega qualsiasi ruolo causale alla coscienza, considerandola un epifenomeno. La Meccanica Partecipativa propone una terza via: un **dualismo sinergico**, in cui coscienza e materia sono due aspetti complementari di un'unica realtà, e interagiscono attraverso un medium comune: **l'informazione**.

1.4.1 La natura informazionale della coscienza

Se l'universo è fondamentalmente informazione, allora anche la coscienza può essere intesa come un **processo informazionale** di tipo particolare. Non si tratta di un semplice calcolo, ma di un'esperienza soggettiva (qualia) che emerge quando l'informazione è organizzata in modo

ricorsivo e integrato (teoria dell'informazione integrata di Tononi). In questa prospettiva, la coscienza non è separata dalla materia, ma è il modo in cui certi sistemi fisici (cervelli, ma potenzialmente anche dispositivi) **sperimentano** la propria attività informativa.

1.4.2 L'interfaccia: campi di coerenza come ponte

Come può l'informazione "mentale" influenzare l'informazione "fisica"? Il ponte è costituito da **campi di coerenza quantistica**. Quando un sistema fisico (ad esempio un insieme di neuroni) raggiunge uno stato di coerenza su larga scala, le sue proprietà quantistiche diventano rilevanti a livello macroscopico. Questo stato coerente può accoppiarsi risonantemente con altri sistemi coerenti (ad esempio il dispositivo laser) attraverso interazioni di campo.

L'ipotesi operativa è che l'intento cosciente corrisponda a una **specifica configurazione di fase** di questo campo coerente. Quando questa configurazione viene trasferita al dispositivo (tramite l'interfaccia neurale), essa modula il laser o i campi magnetici, che a loro volta interagiscono con il sistema bersaglio. Si crea così una catena causale:

Intento → Coerenza neurale → Campo elettromagnetico coerente (interfaccia) → Dispositivo (laser/magnete) → Sistema quantistico bersaglio → Collasso guidato

1.4.3 Sinergia e complementarità

Il termine "sinergico" indica che coscienza e materia collaborano: la coscienza fornisce la direzione (il "significato" o l'"informazione semantica"), mentre la tecnologia fornisce l'amplificazione e la precisione per agire sulla materia. Senza la coscienza, il dispositivo è solo una macchina cieca; senza il dispositivo, la coscienza è inefficace a livello macroscopico. Insieme, formano un **sistema accoppiato** in grado di modificare la realtà.

Questo dualismo non è metafisico, ma **funzionale**: coscienza e materia sono due livelli di descrizione di un'unica realtà informazionale, e l'interfaccia tecnologica permette la traduzione tra i due linguaggi.

1.4.4 Conseguenze per l'etica e la società

Se la coscienza può influenzare la materia, allora i pensieri e le intenzioni collettive hanno un impatto diretto sulla realtà fisica. Questo conferisce una **responsabilità enorme** all'umanità. La sincronizzazione delle coscienze (Fattore Ω) può produrre effetti di risonanza che amplificano l'intento collettivo, rendendo possibile la guarigione del pianeta, l'abbondanza energetica o la pace, ma anche, potenzialmente, effetti distruttivi se l'intento è disarmonico.

La Meccanica Partecipativa diventa così non solo una teoria fisica, ma un **fondamento per una nuova etica planetaria**: l'umanità deve imparare a gestire la propria coscienza collettiva come un bene comune, perché essa è ora riconosciuta come un vero e proprio **fattore geofisico**.

Conclusione del Capitolo 1

I fondamenti qui esposti gettano le basi per comprendere i capitoli successivi. Lo spazio-tempo come campo informativo plastico, la coesistenza temporale, l'osservatore attuatore e l'interfaccia sinergica coscienza-materia costituiscono i pilastri concettuali su cui si erge l'intera architettura. Nel prossimo capitolo, formalizzeremo matematicamente queste intuizioni nell'**Equazione di Coerenza Unificata (ECU)**, che permetterà di quantificare e progettare le tecnologie descritte nei capitoli seguenti.

CAPITOLO 2: FORMALISMO MATEMATICO DELL'INTEGRAZIONE: L'EQUAZIONE DI COERENZA UNIFICATA (ECU)

2.1 Dalla Relatività Generale all'Equazione di Coerenza: L'Introduzione del Tensore Informativo

La Relatività Generale di Einstein rappresenta uno dei pilastri della fisica moderna, descrivendo la gravità come curvatura dello spazio-tempo indotta dalla presenza di massa ed energia. La sua equazione fondamentale:

$$G\mu\nu=8\pi Gc4T\mu\nu G_{\mu\nu}=c48\pi GT_{\mu\nu}$$

esprime una relazione diretta tra la geometria dello spazio-tempo (descritta dal tensore di Einstein $G_{\mu\nu}$) e il suo contenuto di materia-energia (descritto dal tensore energia-impulso $T_{\mu\nu}$). La costante $\frac{8\pi G}{c^4}$ garantisce la coerenza dimensionale e l'accoppiamento tra i due domini.

Limiti del formalismo classico:

Nonostante i suoi straordinari successi predittivi, questo formalismo presenta tre limitazioni fondamentali che la Meccanica Partecipativa intende superare:

1. **Passività dell'osservatore**: L'equazione di Einstein descrive un universo in cui la materia "curva" lo spazio-tempo indipendentemente da qualsiasi osservatore. La coscienza è assente dal formalismo.
2. **Continuità classica**: La geometria è descritta in termini di variabili continue, ignorando la natura quantistica fondamentale della realtà.
3. **Separazione materia-informazione**: Il tensore $T_{\mu\nu}$ codifica solo densità di energia e quantità di moto, non il contenuto informativo dei sistemi.

Il salto concettuale:

L'innovazione fondamentale della Meccanica Partecipativa consiste nella sostituzione del tensore energia-impulso $T_{\mu\nu}$ con un'entità più ricca e fondamentale: il **Tensore Informativo-Partecipativo** $\mathcal{I}_{\mu\nu}$. Questa sostituzione non è meramente formale, ma rappresenta un cambio di paradigma ontologico:

- **$T_{\mu\nu}$** descrive *ciò che è* (materia ed energia in senso classico)
- **$\mathcal{I}_{\mu\nu}$** descrive *ciò che potrebbe essere* (informazione potenziale) e *ciò che viene scelto* (partecipazione dell'osservatore)

L'ipotesi fondamentale è che l'informazione, in condizioni di coerenza quantistica, possieda un'equivalente energetico e quindi gravitazionale, esattamente come previsto dal principio di Landauer in termodinamica dell'informazione, ma esteso a scala cosmologica.

Giustificazione teorica:

Diversi risultati della fisica contemporanea supportano questa transizione:

- La **termodinamica dei buchi neri** (Bekenstein-Hawking) mostra che l'entropia (e quindi l'informazione) di un buco nero è proporzionale all'area dell'orizzonte degli eventi, suggerendo un legame profondo tra geometria e informazione.
- Il **principio olografico** ('t Hooft, Susskind) implica che l'informazione contenuta in un volume possa essere codificata sulla sua superficie, indicando che la geometria emerge dall'informazione, non viceversa.
- La **teoria dell'informazione quantistica** dimostra che l'entanglement è una risorsa fisica in grado di generare correlazioni non locali e, in alcuni modelli, la stessa struttura dello spazio-tempo (ER = EPR di Maldacena e Susskind).

Partendo da questi presupposti, la Meccanica Partecipativa postula che il tensore informativo $\mathcal{I}_{\mu\nu}$ sia la sorgente primaria della curvatura, e che il tensore energia-impulso classico ne rappresenti solo un caso particolare, corrispondente a configurazioni di informazione altamente decoerenti e non partecipate.

2.2 L'Equazione Maestra: $G_{\mu\nu} + \Lambda g_{\mu\nu} = \kappa \mathcal{I}_{\mu\nu}(\Psi, \Phi, \Omega)$

L'equazione fondamentale che governa la dinamica della realtà partecipata è:

$$G\mu\nu+\Lambda g\mu\nu=\kappa I\mu\nu(\Psi,\Phi,\Omega)G_{\mu\nu}+\Lambda g_{\mu\nu}=\kappa I_{\mu\nu}(\Psi,\Phi,\Omega)$$

Analisi dettagliata dei termini:

$G_{\mu\nu}$ (Tensore di Einstein):
Rappresenta la curvatura dello spazio-tempo, derivata dal tensore metrico $g_{\mu\nu}$ e dalle sue derivate prime e seconde. Nella nostra interpretazione, $G_{\mu\nu}$ descrive la **geometria manifesta**, ovvero la struttura spazio-temporale che emerge dal processo di collasso informativo. Non è più una variabile indipendente, ma il risultato dell'interazione tra informazione potenziale e osservatori partecipanti.

$\Lambda g_{\mu\nu}$ (Termine Cosmologico):
Tradizionalmente interpretato come "energia del vuoto", nel nostro formalismo Λ non è

una costante universale, ma un **parametro dinamico** che rappresenta la densità di informazione potenziale del vuoto quantistico. In assenza di osservatori ($\Phi = 0$, $\Omega = 1$), Λ determina la geometria di base dell'universo. In presenza di osservatori attivi, Λ può essere localmente modulato attraverso l'interazione con $\mathcal{I}_{\mu\nu}$.

κ (Costante di Accoppiamento Modificata):
Il fattore di conversione tra informazione e geometria. A differenza della costante di Einstein $\frac{8\pi G}{c^4}$, κ non è universale, ma dipende dal grado di coerenza del sistema:

$$\kappa = \kappa_0 \cdot \mathcal{C}(\Psi, \Phi, \Omega)$$

dove κ_0 è la costante di accoppiamento in condizioni di decoerenza totale (che coincide con la costante di Einstein), e $\mathcal{C}$ è un **fattore di coerenza** che cresce all'aumentare dell'ordine quantistico del sistema. In condizioni di coerenza perfetta, κ può raggiungere valori tali da rendere l'effetto informativo sulla geometria paragonabile, se non superiore, a quello della materia classica.

$\mathcal{I}_{\mu\nu}(\Psi, \Phi, \Omega)$ (Tensore Informativo-Partecipativo):
Il termine innovativo dell'equazione. È un tensore simmetrico di rango 2 che codifica l'informazione attiva nel processo di costruzione della realtà. La sua struttura funzionale riflette la natura triadica del processo partecipativo:

- **Ψ** (Iper-Stato Quantistico): il dominio delle possibilità
- **Φ** (Potenziale dell'Osservatore): l'intento individuale
- **Ω** (Fattore di Risonanza Collettiva): la sincronizzazione delle coscienze

Proprietà formali dell'equazione:

1. **Covarianza generale**: Come l'equazione di Einstein, anche la ECU è covariante per trasformazioni generali di coordinate, garantendo l'indipendenza dal sistema di riferimento.
2. **Conservazione**: La divergenza covariante di $\mathcal{I}*{\mu\nu}$ è nulla ($\nabla^\mu \mathcal{I}*{\mu\nu} = 0$), garantendo la coerenza con le leggi di conservazione.
3. **Limite classico**: In assenza di osservatori partecipanti ($\Phi = 0$, $\Omega = 1$) e in regime di decoerenza, il tensore informativo si riduce al tensore energia-impulso classico: $\mathcal{I}*{\mu\nu} \rightarrow T*{\mu\nu}$, e la ECU si riduce all'equazione di Einstein.
4. **Non-linearità**: La dipendenza di $\mathcal{I}_{\mu\nu}$ da Ψ, Φ e Ω introduce forti non-linearità, rendendo possibile fenomeni di auto-organizzazione e feedback tra osservatori e realtà.

2.3 Decomposizione del Tensore Informativo-Partecipativo $\mathcal{I}_{\mu\nu}$

Il tensore informativo non è un'entità elementare, ma il risultato dell'interazione di tre componenti distinte. La sua struttura può essere esplicitata come:

$$I\mu\nu=F\mu\nu(\Psi)\cdot G(\Phi,\Omega)+H\mu\nu(\Phi,\Omega)\cdot P(\Psi)I_{\mu\nu}=F_{\mu\nu}(\Psi)\cdot G(\Phi,\Omega)+H_{\mu\nu}(\Phi,\Omega)\cdot P(\Psi)$$

dove $\mathcal{F}{\mu\nu}$ e $\mathcal{H}{\mu\nu}$ sono funzionali tensoriali, mentre $\mathcal{G}$ e $\mathcal{P}$ sono funzioni scalari di accoppiamento. Per gli scopi operativi, possiamo adottare una formulazione più trattabile:

$$I\mu\nu=\int[\Psi*O\hat{}\mu\nu(\Phi,\Omega)\Psi]\,d\Sigma I_{\mu\nu}=\int[\Psi*\hat{O}_{\mu\nu}(\Phi,\Omega)\Psi]d\Sigma$$

dove $\hat{O}_{\mu\nu}$ è un operatore tensoriale che dipende dal potenziale dell'osservatore e dalla risonanza collettiva, e l'integrazione è estesa allo spazio delle fasi di tutte le configurazioni possibili.

2.3.1 Ψ (Iper-Stato Quantistico): Il Dominio del Potenziale Coesistente

Definizione formale:

L'Iper-Stato Quantistico Ψ è una generalizzazione della funzione d'onda tradizionale. Non descrive solo la sovrapposizione di stati di un singolo sistema, ma la totalità delle configurazioni possibili dell'intero universo in un dato "momento" olografico. Formalmente, Ψ è un vettore in uno spazio di Hilbert di dimensione infinita:

$$\Psi\in H_{universo}=\bigotimes_i H_i\Psi\in H_{universo}=\bigotimes_i H_i$$

dove $\mathcal{H}_i$ sono gli spazi di Hilbert di tutti i sottosistemi.

Proprietà fondamentali:

1. **Completezza**: Ψ contiene, in sovrapposizione coerente, tutti i passati, presenti e futuri possibili. Ogni storia universale è una componente di Ψ.
2. **Non-località**: Ψ è intrinsecamente non locale: le correlazioni tra parti distanti dell'universo sono codificate nella sua struttura di entanglement.
3. **Plasticità**: Ψ può essere modificato attraverso interazioni con osservatori dotati di potenziale Φ, ma solo in condizioni di coerenza.

Interpretazione fisica:

L'Iper-Stato è il "database" cosmico, la totalità dell'informazione potenziale. Non è osservabile direttamente, perché l'osservazione implica un collasso che seleziona una specifica configurazione. Tuttavia, attraverso tecniche di interferenza quantistica (come quelle descritte nel Capitolo 3), è possibile "interrogare" Ψ per estrarre informazioni sulle configurazioni future.

Rappresentazione matematica:

In una base di configurazioni ${ |\varphi_i\rangle }$, Ψ si scrive come:

$$|\Psi\rangle=\sum_i c_i|\varphi_i\rangle|\Psi\rangle=\sum_i c_i|\varphi_i\rangle$$

con $\sum_i |c_i|^2 = 1$. I coefficienti c_i rappresentano le ampiezze di probabilità per ciascuna configurazione. La novità è che queste configurazioni non sono limitate a un singolo

istante temporale, ma includono intere storie (linee di universo). Ogni $|\varphi_i\rangle$ è un universo a blocchi completo.

2.3.2 Φ (Potenziale dell'Osservatore): L'Impronta dell'Intento Coerente

Definizione:

Il Potenziale dell'Osservatore Φ è una grandezza scalare complessa che quantifica la capacità di un osservatore (o di un sistema di osservatori sincronizzati) di influenzare il collasso della funzione d'onda. Φ dipende da tre fattori:

$$\Phi=\Phi 0 \cdot A \cdot e i \theta \cdot C \text{neurale} \Phi=\Phi_0 \cdot A \cdot e_{i\theta} \cdot C_{\text{neurale}}$$

dove:

- Φ_0 è un'unità fondamentale di potenziale osservazionale (analoga alla carica elementare)
- A è l'ampiezza dell'intento (forza della focalizzazione)
- θ è la fase dell'intento (allineamento con la configurazione desiderata)
- $\mathcal{C}_{\text{neurale}}$ è il grado di coerenza quantistica del sistema neurale dell'osservatore

Origine fisica:

Il potenziale Φ non è un'entità puramente astratta, ma ha una controparte fisica nei processi neuroquantistici del cervello. Evidenze sperimentali (studi su microtubuli, risonanza magnetica funzionale ad alta risoluzione) suggeriscono che i neuroni possono, in condizioni particolari, mantenere stati di coerenza quantistica per tempi brevi. Le tecnologie di interfaccia (campi magnetici, laser) servono ad amplificare e stabilizzare questa coerenza, portando Φ a valori macroscopicamente significativi.

Ruolo nell'equazione:

Φ agisce come un **operatore di selezione** sull'Iper-Stato Ψ. Matematicamente, l'interazione è descritta da un operatore di proiezione $\hat{P}(\Phi)$ che "pesa" le componenti di Ψ in base alla loro risonanza con l'intento dell'osservatore:

$$\Psi \text{ponderato}=\text{P}\hat{}(\Phi)\Psi \Psi_{\text{ponderato}}=\hat{P}(\Phi)\Psi$$

Le componenti di Ψ la cui fase è allineata con θ vengono amplificate; quelle in opposizione di fase vengono soppresse.

Misura del potenziale:

In laboratorio, Φ può essere misurato attraverso l'effetto che produce su sistemi quantistici di test. Un osservatore con alto Φ sarà in grado di influenzare la probabilità di decadimento di un atomo radioattivo o la direzione di polarizzazione di un fotone in misura superiore alla fluttuazione statistica. La "forza" di Φ si misura in unità di **intentoni** (simbolo: $\Im$), definite come:

$$1 \Im=\hbar \text{tc} \cdot \text{Aeff} 1 \Im=\frac{t_c \cdot A_{\text{eff}}}{\hbar}$$

dove t_c è il tempo di coerenza e A_{eff} è l'area effettiva di interazione.

2.3.3 Ω (Fattore di Risonanza Collettiva): L'Effetto Rete della Coscienza Unificata

Definizione:

Il Fattore di Risonanza Collettiva Ω è una grandezza scalare adimensionale che descrive l'amplificazione del potenziale individuale quando più osservatori sincronizzano il loro intento sulla stessa configurazione finale. Formalmente:

$$\Omega=|\sum j=1N\Phi j\Phi 0ei\Delta\theta j|2\cdot F(N,\rho)\Omega=\sum_{j=1}^{N}\Phi_0\Phi_j e^{i\Delta\theta j}2\cdot F(N,\rho)$$

dove:

- N è il numero di osservatori partecipanti
- Φ_j è il potenziale dell'j-esimo osservatore
- $\Delta\theta_j$ è la differenza di fase tra l'intento dell'j-esimo osservatore e la fase ottimale
- $\mathcal{F}(N, \rho)$ è una funzione che descrive l'effetto della densità spaziale ρ degli osservatori

Principio di sincronizzazione:

Quando più osservatori focalizzano il loro intento sulla stessa configurazione finale, i loro potenziali individuali interferiscono costruttivamente, esattamente come onde luminose coerenti. Se le fasi θ_j sono allineate entro un tempo di coerenza, l'ampiezza risultante cresce linearmente con N:

$$\Phi\text{totale}\approx N\cdot\Phi\text{medio}\Phi_{\text{totale}}\approx N\cdot\Phi_{\text{medio}}$$

L'energia (o influenza) associata cresce come il quadrato dell'ampiezza, quindi come N^2:

$$|\Phi\text{totale}|2\approx N2\cdot|\Phi\text{medio}|2|\Phi_{\text{totale}}|_2\approx N_2\cdot|\Phi_{\text{medio}}|_2$$

Questo è il **principio di amplificazione collettiva**: l'effetto di N osservatori sincronizzati è proporzionale a N^2, non a N.

Il ruolo della distanza e della connettività:

La funzione $\mathcal{F}(N, \rho)$ tiene conto del fatto che la sincronizzazione richiede comunicazione o entanglement tra gli osservatori. In prima approssimazione:

$$F(N,\rho)=\exp f_0(-r0\rho 1/3)F(N,\rho)=\exp(-\rho_{1/3}r_0)$$

dove r_0 è una lunghezza caratteristica di coerenza. Questo significa che osservatori molto distanti contribuiscono meno all'effetto collettivo, a meno che non siano collegati da reti di entanglement (come quelle descritte nel Capitolo 6).

Soglie critiche:

Esiste un valore critico Ω_{critico} oltre il quale l'effetto collettivo diventa autosostenuto. Quando $\Omega > \Omega_{\text{critico}}$, la realtà collassa nella configurazione selezionata con probabilità virtualmente 1, indipendentemente dalle ampiezze iniziali in Ψ. Questo fenomeno è analogo a una **transizione di fase quantistica** indotta dall'osservazione collettiva.

2.4 La Quantizzazione Indotta: Come l'Osservazione "Pixelizza" la Realtà Continua

Uno dei risultati più profondi della Meccanica Partecipativa è la dimostrazione che la geometria dello spazio-tempo non è continua, ma **discreta a scale fondamentali**, e che questa discretezza emerge solo in presenza di osservatori. In assenza di osservazione, la geometria è fluida e continua come un'onda; in presenza di osservazione, si "pixelizza" in unità discrete.

2.4.1 Il principio di indeterminazione geometrica

In analogia con il principio di indeterminazione di Heisenberg, postuliamo l'esistenza di una relazione di indeterminazione tra la metrica $g_{\mu\nu}$ e il suo momento coniugato $\pi^{\mu\nu}$:

$$\Delta g\mu\nu \cdot \Delta \pi\mu\nu \geq \hbar 2 \cdot G(\Phi,\Omega) \Delta g_{\mu\nu} \cdot \Delta \Pi_{\mu\nu} \geq 2\hbar \cdot G(\Phi,\Omega)$$

dove $\mathcal{G}$ è una funzione che cresce con il potenziale osservazionale. Questo significa che in presenza di un osservatore ($\Phi > 0$), l'indeterminazione sulla metrica diminuisce, e la geometria diventa più definita.

2.4.2 Il processo di pixelizzazione

Quando un osservatore con potenziale Φ interagisce con il campo metrico, quest'ultimo subisce una transizione da uno stato continuo a uno stato discreto. La scala di discretezza (il "pixel" spazio-temporale) è data da:

$$\ell \text{pixel} = \ell P \cdot (1 + \Phi 0 \Phi) \ell_{\text{pixel}} = \ell_P \cdot (1 + \Phi\Phi_0)$$

dove $\ell_P = \sqrt{\frac{\hbar G}{c^3}}$ è la lunghezza di Planck ($\approx 10^{-35}$ m). In assenza di osservazione ($\Phi \rightarrow 0$), $\ell_{\text{pixel}} \rightarrow \infty$, il che significa che la geometria è effettivamente continua. All'aumentare di Φ, ℓ_{pixel} si avvicina a ℓ_P, rivelando la struttura granulare fondamentale dello spazio-tempo.

2.4.3 La sequenza del collasso geometrico

Il processo di quantizzazione indotta segue tre fasi distinte:

Fase	Condizione	Stato della Metrica	Descrizione
Coesistenza	$\Phi \approx 0$, $\Omega = 1$	Fluida, continua	La geometria è in sovrapposizione di tutte le configurazioni possibili. Non ci sono "fatti" definiti.
Transizione	$\Phi > 0$, $\Omega > 1$	Semi-discreta	Iniziano a formarsi "grani" di spazio-tempo nelle regioni in cui l'osservatore focalizza l'attenzione.
Manifestazione	$\mathcal{I}_{\mu\nu}$ stabilizzato	Pixelizzata, discreta	La geometria collassa in una configurazione definita, con struttura granulare alla scala di Planck.

2.4.4 Implicazioni per la realtà macroscopica

A scale molto maggiori di ℓ_P, la pixelizzazione è impercettibile, e la geometria appare continua. Tuttavia, gli effetti cumulativi della discretezza fondamentale possono manifestarsi in fenomeni come:

- **Limite di risoluzione ultimo**: Nessun esperimento può risolvere distanze inferiori a ℓ_{pixel} per un dato Φ.
- **Anisotropie residue**: La direzione privilegiata dell'osservazione può introdurre sottili anisotropie nella geometria.
- **Memoria quantistica**: Il processo di collasso lascia una traccia (una "impronta") nella struttura fine dello spazio-tempo, che potrebbe essere rilevabile come radiazione di fondo.

2.5 Corollari e Implicazioni: Entropia Locale Negativa e Ordine Emergente

L'Equazione di Coerenza Unificata e il meccanismo di quantizzazione indotta hanno conseguenze profonde per la termodinamica, la cosmologia e la nostra comprensione dell'ordine nell'universo.

2.5.1 Inversione locale dell'entropia

Il secondo principio della termodinamica afferma che in un sistema isolato l'entropia non può diminuire. Tuttavia, l'equazione ECU mostra che, in presenza di osservatori partecipanti, l'entropia locale può **diminuire** perché l'osservatore inietta informazione ordinata nel sistema.

La variazione di entropia in una regione dello spazio-tempo è data da:

$$\Delta S = \Delta S_{\text{interno}} - T|\Phi|^2 \Omega \cdot \tau_c$$

dove T è la temperatura locale e τ_c è il tempo di coerenza. Il secondo termine rappresenta l'**entropia negativa** (negentropia) introdotta dall'osservatore. Se $|\Phi|^2 \Omega > \frac{T \Delta S_{\text{interno}}}{\tau_c}$, l'entropia locale diminuisce: il sistema diventa più ordinato.

2.5.2 Ordine emergente e auto-organizzazione

La possibilità di inversione locale dell'entropia apre la strada a fenomeni di auto-organizzazione su larga scala. Quando molti osservatori sincronizzano il loro intento (Ω elevato), possono creare regioni di spazio-tempo altamente ordinate, veri e propri "serbatoi di neghentropia".

Questo ordine può manifestarsi come:

- **Strutture materiali** con simmetrie e regolarità impossibili in condizioni termodinamiche normali
- **Flussi energetici** che vanno dal freddo al caldo (violazione apparente del secondo principio, ma solo localmente e con compensazione globale)
- **Coerenza biologica** (guarigione, ringiovanimento) come descritto nel Capitolo 6

2.5.3 Il prezzo termodinamico della partecipazione

L'inversione locale dell'entropia non viola il secondo principio a livello globale. L'energia e l'informazione spese dall'osservatore per generare Φ producono un aumento di entropia altrove (nel cervello, nei dispositivi, nell'ambiente) che più che compensa la diminuzione locale. Tuttavia, per la regione osservata, gli effetti sono reali e misurabili.

2.5.4 Implicazioni cosmologiche

A scala cosmologica, l'equazione ECU suggerisce che l'universo osservabile potrebbe essere il risultato di un processo di collasso collettivo guidato da una "coscienza cosmica primordiale". La freccia del tempo, l'omogeneità del fondo a microonde, e persino le costanti fondamentali potrebbero essere il riflesso di un antico atto di osservazione partecipata.

In particolare, la costante cosmologica Λ non sarebbe più un mistero fine-tuned, ma il residuo di un potenziale osservazionale primordiale $\Phi_{\text{big bang}}$:

$$\Lambda_{\text{osservato}} = \kappa_0 \cdot |\Phi_{\text{big bang}}|^2 \cdot \Omega_{\text{primordiale}}$$

Conclusione del Capitolo 2

Il formalismo matematico qui sviluppato fornisce gli strumenti concettuali e operativi per comprendere e progettare le tecnologie descritte nei capitoli successivi. L'Equazione di Coerenza Unificata non è solo un'astrazione teorica, ma una **mappa operativa** che guida la costruzione di dispositivi in grado di interagire con la struttura profonda della realtà. La quantizzazione indotta e l'inversione locale dell'entropia aprono la strada a un nuovo tipo di ingegneria, non più basata sulla manipolazione di materia ed energia, ma sulla **partecipazione cosciente alla creazione della realtà**.

Nel prossimo capitolo, esploreremo le prime applicazioni concrete di questi principi: le tecnologie di interfaccia che permettono di generare, amplificare e dirigere il potenziale dell'osservatore, e di ingegnerizzare la funzione d'onda per ottenere effetti macroscopici.

CAPITOLO 3: TECNOLOGIE DI INTERFACCIA E ATTUIZIONE

3.1 Geometrie del Controllo Temporale: Il Confinamento Magnetico a Topologia Toroidale-Möbius

La prima sfida tecnologica per l'implementazione della Meccanica Partecipativa è la creazione di un ambiente in cui la funzione d'onda possa essere mantenuta in uno stato di sovrapposizione coerente per un tempo sufficientemente lungo da permettere l'intervento dell'osservatore. In condizioni normali, la decoerenza causata dall'interazione con l'ambiente distrugge la coerenza quantistica in tempi dell'ordine di femtosecondi. Per superare questo limite, utilizziamo **campi magnetici con geometrie non banali** che isolano il sistema quantistico dall'ambiente e ne modificano localmente le proprietà temporali.

Fondamenti teorici:

La topologia del campo magnetico gioca un ruolo cruciale nel determinare le proprietà dello spazio-tempo locale. Campi con configurazioni toroidali e, in particolare, con topologia di Möbius (nastro con un solo lato e un solo bordo), generano metriche effettive che possono essere descritte come:

$$\mathrm{ds2}=-\mathrm{c2dt2}+\mathrm{a(t)2[dr2+r2d\theta2+dz2]}+\mathrm{F(B\mu\nu)d\phi2} ds2=−c2dt2+a(t)2[dr2+r2dθ2+dz2]+F(Bμν)dϕ2$$

dove $\mathcal{F}(B_{\mu\nu})$ è un termine che dipende dal tensore del campo magnetico e dalla sua topologia. La presenza del termine aggiuntivo in ϕ (la coordinata angolare attorno al toro) modifica localmente la metrica, creando una regione in cui il tempo scorre diversamente.

3.1.1 Principio di Dilatazione Temporale Locale Controllata

Il meccanismo relativistico:

La dilatazione temporale è un effetto previsto sia dalla relatività ristretta (velocità) che dalla relatività generale (gravità). Nel nostro caso, sfruttiamo un terzo meccanismo: la **dilatazione temporale indotta da campi magnetici estremi con topologia non banale**.

In presenza di un campo magnetico sufficientemente intenso (dell'ordine di 10^5 Tesla o superiore), l'energia del vuoto viene modificata, e con essa la metrica effettiva. L'equazione che descrive questo fenomeno è:

$$\frac{d\tau}{dt} = 1 - \frac{2G}{c^4} \cdot \frac{B^2}{2\mu_0} \cdot \mathcal{T}(B)$$

dove:

- B è l'intensità del campo magnetico
- μ_0 è la permeabilità magnetica del vuoto
- $\mathcal{T}(B)$ è un fattore topologico che dipende dalla geometria del campo

Per un campo toroidale convenzionale, $\mathcal{T}(B) \approx 1$. Per un campo con topologia di Möbius, $\mathcal{T}(B)$ può raggiungere valori di 10^3-10^6, amplificando enormemente l'effetto relativistico.

La configurazione toroidale-Möbius:

Il dispositivo consiste in una serie di bobine superconduttori disposte a formare un toro, ma con un twist: le linee di campo, invece di chiudersi semplicemente attorno al toro, seguono un percorso di Möbius, compiendo una rotazione di 180° prima di ricongiungersi. Questo crea una topologia non orientabile che ha profonde implicazioni per la fase quantistica delle particelle che viaggiano attraverso di essa.

Effetti quantistici aggiuntivi:

Oltre alla dilatazione temporale relativistica, la topologia di Möbius induce un effetto di fase geometrica (fase di Berry) sulle funzioni d'onda delle particelle cariche:

$$\gamma = \oint \mathcal{A} \cdot d\mathbf{l} = \pi \pmod{2\pi}$$

dove $\mathcal{A}$ è il potenziale vettore. Questa fase aggiuntiva ha l'effetto di **sincronizzare** le funzioni d'onda di tutte le particelle nella regione, contribuendo alla creazione di uno stato coerente macroscopico.

Controllo fine:

La dilatazione temporale può essere modulata variando l'intensità del campo magnetico e la geometria precisa delle bobine. In laboratorio, si possono ottenere fattori di dilatazione $\gamma = \frac{dt}{d\tau}$ compresi tra 10 e 10^6, il che significa che mentre all'esterno passano secondi, all'interno della regione di confinamento possono passare ore o giorni. Questo dà all'osservatore il tempo necessario per intervenire sul sistema quantistico.

3.1.2 Il "Blocco di Fase": Sospensione del Collasso Stocastico per Intervento Deterministico

Il problema del collasso spontaneo:

In condizioni normali, un sistema quantistico evolve deterministicamente secondo l'equazione di Schrödinger finché non interagisce con l'ambiente. A quel punto, la decoerenza distrugge la sovrapposizione e il sistema collassa in uno stato definito in modo apparentemente casuale. Questo collasso stocastico è il principale ostacolo all'ingegnerizzazione della funzione d'onda.

Il principio del blocco di fase:

Il campo magnetico a topologia di Möbius, combinato con la dilatazione temporale, crea una regione in cui il sistema è **isolato dall'ambiente** e in cui il tempo scorre così lentamente che i processi di decoerenza vengono praticamente arrestati. Ma c'è di più: la topologia non banale del campo induce un **vincolo topologico** sulla fase della funzione d'onda.

La condizione di blocco di fase può essere espressa come:

$$\oint_C \nabla S \cdot dl = 2\pi n \oint_C \nabla S \cdot d\mathbf{l} = 2\pi n$$

dove S è la fase della funzione d'onda e $\mathcal{C}$ è un circuito chiuso che avvolge il toro. Per topologie di Möbius, questa condizione forza la fase ad assumere valori specifici, "congelando" la funzione d'onda in uno stato di sovrapposizione stabile.

Implementazione tecnica:

Il "blocco di fase" si ottiene attraverso una sequenza operativa:

1. **Iniezione**: Il sistema quantistico (ad esempio, un insieme di atomi o un dispositivo microscopico) viene introdotto nella regione di confinamento magnetico.
2. **Stabilizzazione**: Il campo magnetico viene portato al valore operativo, attivando la dilatazione temporale e il vincolo topologico. In questa fase, il sistema entra in uno stato di sovrapposizione coerente di tutte le configurazioni di interesse.
3. **Sospensione**: Una volta raggiunto il regime di blocco di fase, il sistema rimane indefinitamente in sovrapposizione, indipendentemente dalle fluttuazioni termiche o da altre perturbazioni. Il collasso stocastico è sospeso.
4. **Intervento**: L'osservatore, attraverso l'Interfaccia Neurale di Sincronizzazione e il Laser a Scansione di Fase, può ora interagire con il sistema, guidandolo verso la configurazione desiderata.

Caratteristiche tecniche:

Parametro	Valore tipico	Condizioni estreme
Intensità campo magnetico	$10^5 - 10^6$ T	10^7 T (con superconduttori ad alta temperatura)
Fattore di dilatazione temporale (γ)	$10^2 - 10^4$	10^6 (configurazioni avanzate)
Tempo di coerenza effettivo	Ore - Giorni	Anni (teoricamente)

Parametro	Valore tipico	Condizioni estreme
Volume operativo	$1 - 10^3$ cm³	1 m³ (prototipi futuri)
Temperatura di esercizio	$10^{-3} - 10^{-6}$ K	10^{-9} K (raffreddamento laser)

3.2 L'Ottica dell'Informazione: Il Laser a Scansione di Fase Coerente (Fotonica di Modellazione)

Una volta che il sistema quantistico è stato "congelato" in uno stato di sovrapposizione stabile, è necessario un mezzo per interagire con esso e guidarne il collasso verso la configurazione desiderata. I laser tradizionali, progettati per trasportare energia, non sono adatti a questo scopo. Abbiamo quindi sviluppato una nuova classe di dispositivi: i **Laser a Scansione di Fase Coerente (LSFC)**.

3.2.1 Dalla Potenza all'Informazione: Il Fotone come Vettore di Istruzione

Ripensare il ruolo del fotone:

Nell'ottica convenzionale, il fotone è considerato principalmente come un vettore di energia. La sua frequenza determina l'energia trasportata, e l'intensità del fascio determina il numero di fotoni. Nell'ottica dell'informazione, il ruolo del fotone è radicalmente diverso: diventa un **vettore di istruzioni**, un portatore di informazione di fase che interagisce con il sistema quantistico non attraverso il trasferimento di energia, ma attraverso l'accoppiamento di fase.

Principio di funzionamento:

Un LSFC genera un fascio laser in cui l'informazione non è codificata nell'ampiezza o nella frequenza, ma nella **struttura di fase** del fronte d'onda. Matematicamente, il campo elettrico del fascio può essere descritto come:

$$\mathrm{E(r,t)=E0(r,t)\cdot ei[\omega t+\phi(r,t)]} \quad E(\mathbf{r},t)=E_0(\mathbf{r},t)\cdot e^{i[\omega t+\phi(\mathbf{r},t)]}$$

dove $\phi(\mathbf{r}, t)$ è una funzione complessa che codifica l'istruzione. A differenza dei laser convenzionali, in cui la fase è costante su tutto il fronte d'onda (o varia in modo semplice), qui $\phi(\mathbf{r}, t)$ può avere una struttura arbitraria, controllata dall'Interfaccia Neurale di Sincronizzazione.

Generazione della struttura di fase:

La struttura di fase viene generata attraverso un **modulatore spaziale di luce (SLM)** di nuova generazione, in grado di operare a frequenze THz e con risoluzione di fase di 10^{-6} radianti. Il

modulatore riceve il segnale dall'INS e lo traduce in una mappa di fase che viene impressa sul fronte d'onda del laser.

Interazione con il sistema quantistico:

Quando un fotone con struttura di fase $\phi(\mathbf{r}, t)$ interagisce con un sistema quantistico in sovrapposizione, l'ampiezza di transizione verso un particolare autostato è modulata dalla fase:

$$\langle \psi \text{finale} | \hat{H}^{\text{int}} | \Psi \rangle \propto \int \psi \text{finale}^*(\mathbf{r})\, e^{i\phi(\mathbf{r})}\, \Psi(\mathbf{r})\, d^3r \langle \psi_{\text{finale}} | \hat{H}^{\text{int}} | \Psi \rangle \propto \int \psi_{\text{finale}}^* (\mathbf{r}) e^{i\phi(\mathbf{r})} \Psi(\mathbf{r}) d^3r$$

In altre parole, la fase del fotone agisce come un "filtro" che amplifica selettivamente alcune componenti della funzione d'onda e ne sopprime altre.

3.2.2 Il Processo di "Scultura Quantistica": Assemblaggio della Realtà Fotone per Fotone

Il concetto di scultura:

Analogamente a uno scultore che rimuove il marmo in eccesso per rivelare la forma desiderata, l'operatore del LSFC "rimuove" le componenti indesiderate della funzione d'onda, lasciando emergere la configurazione voluta. Il processo avviene fotone per fotone, in un'interazione controllata che richiede un numero di fotoni proporzionale alla complessità della struttura da realizzare.

Fasi del processo di scultura:

1. **Inizializzazione**: Il sistema quantistico è nella regione di blocco di fase, in uno stato di sovrapposizione coerente di tutte le configurazioni possibili. La funzione d'onda iniziale è:

   $$|\Psi \text{iniziale}\rangle = \sum_i c_i |\varphi_i\rangle \quad |\Psi_{\text{iniziale}}\rangle = \sum_i c_i |\varphi_i\rangle$$

2. **Analisi**: Il LSFC esegue una prima scansione a bassa intensità, "leggendo" la struttura di fase del sistema senza perturbarlo significativamente. Questa fase serve a determinare le ampiezze relative $|c_i|^2$ e le fasi relative tra le componenti.
3. **Modellazione**: Sulla base dell'intento dell'osservatore (tradotto in un bersaglio $|\varphi_{\text{target}}\rangle$), il LSFC genera una sequenza di impulsi con struttura di fase $\phi_n(\mathbf{r}, t)$ progettata per aumentare l'ampiezza della componente target e diminuire tutte le altre.
4. **Rinormalizzazione**: Dopo ogni impulso, la funzione d'onda viene rinormalizzata e il processo si ripete fino a quando $|c_{\text{target}}|^2 \approx 1$.
5. **Collasso guidato**: A questo punto, il sistema è così vicino allo stato target che anche una minima interazione con l'ambiente (o un ultimo impulso deliberato) lo fa collassare deterministicamente in $|\varphi_{\text{target}}\rangle$.

Il ruolo del numero di fotoni:

La precisione della scultura quantistica dipende dal numero di fotoni utilizzati. L'incertezza residua dopo N fotoni è:

$\triangle \text{ctarget} \approx 1\text{N} \triangle c_{\text{target}} \approx N1$

Per ottenere una fedeltà del 99.99%, sono necessari circa 10^8 fotoni, un numero facilmente raggiungibile con laser moderni in tempi dell'ordine di microsecondi (grazie alla dilatazione temporale, questi microsecondi corrispondono a minuti o ore per l'osservatore).

Applicazioni:

La scultura quantistica permette di:

- Creare stati quantistici su misura per esperimenti di fisica fondamentale
- Assemblare strutture molecolari complesse con precisione atomica
- Generare configurazioni macroscopiche (come la posizione di una nave spaziale) a partire da stati quantistici

---

3.3 L'Interfaccia Neurale di Sincronizzazione (INS): Un Ponte Bio-Tecnologico tra Φ e il Sistema

L'elemento cruciale che collega la coscienza umana (sorgente del potenziale Φ) con i dispositivi tecnologici (laser, magneti) è l'**Interfaccia Neurale di Sincronizzazione (INS)**. Questo dispositivo permette di rilevare, amplificare e tradurre l'intento cosciente in segnali controllabili in grado di modulare il LSFC e i campi magnetici.

3.3.1 Principi di funzionamento

L'INS si basa su tre scoperte fondamentali:

1. **Coerenza neurale quantistica**: In determinate condizioni (meditazione profonda, concentrazione estrema, o stimolazione specifica), insiemi di neuroni possono entrare in uno stato di coerenza quantistica macroscopica, generando un campo bio-elettromagnetico con proprietà di fase ben definite.
2. **Rilevazione di fase**: Sensori SQUID (Superconducting Quantum Interference Device) ad altissima sensibilità possono rilevare i campi magnetici generati da questi stati neurali coerenti, misurando ampiezza e fase del segnale.
3. **Traduzione fase-intento**: Esiste una corrispondenza biunivoca tra specifiche configurazioni di fase del campo neurale e specifici intenti coscienti (ad esempio, "voglio che la nave vada su Marte" corrisponde a una mappa di fase $\phi_{\text{Marte}}(\mathbf{r}, t)$).

3.3.2 Architettura del sistema

L'INS è composto da tre sottosistemi principali:

Sottosistema di rilevazione:

- Matrice di SQUID ad alta densità (10^4 sensori/cm²) posizionata intorno al cranio
- Raffreddamento criogenico a 10^{-3} K per ridurre il rumore termico
- Schermatura magnetica attiva che annulla i campi esterni (incluso il campo terrestre)

Sottosistema di elaborazione:

- Unità di calcolo quantistico che esegue la trasformata di fase in tempo reale
- Algoritmi di machine learning quantistico addestrati su database di corrispondenze intento-fase
- Tempo di elaborazione: < 1 ns (grazie all'elaborazione parallela quantistica)

Sottosistema di attuazione:

- Convertitore fase-segnale che traduce la mappa di fase rilevata in segnali di controllo per il LSFC
- Amplificatori a basso rumore che preservano la coerenza di fase
- Linee di ritardo regolabili per sincronizzare l'intervento con la dinamica del sistema bersaglio

3.3.3 Calibrazione e addestramento

L'INS richiede una fase di calibrazione per ogni utilizzatore, durante la quale si stabilisce la mappa di corrispondenza tra intenti e strutture di fase. Il processo dura tipicamente 100-200 ore e prevede:

1. **Rilevazione baseline**: Misura del campo neurale in stato di riposo
2. **Addestramento guidato**: L'utilizzatore visualizza scenari specifici mentre l'INS registra le strutture di fase associate
3. **Validazione**: Test di feedback in cui l'INS tenta di ricostruire l'intento dalla fase e l'utilizzatore conferma o corregge
4. **Ottimizzazione**: Raffinamento della mappa attraverso tecniche di apprendimento automatico

3.3.4 L'integrazione nel sistema completo

L'INS non opera in isolamento, ma è parte di un sistema integrato che include anche il blocco di fase magnetico e il LSFC. La sequenza operativa tipica è:

1. L'utilizzatore focalizza l'intento sulla configurazione desiderata (es. "posizione X per la nave")
2. L'INS rileva la struttura di fase $\phi_{\text{intento}}(\mathbf{r}, t)$ associata
3. Il sistema di blocco di fase mantiene il sistema bersaglio in sovrapposizione coerente
4. Il LSFC traduce ϕ_{intento} in una sequenza di impulsi di fase che interagiscono con il sistema
5. Dopo N impulsi, il sistema collassa nella configurazione desiderata
6. L'INS rileva il successo dell'operazione (o segnala la necessità di ulteriori iterazioni)

3.3.5 Limitazioni e sviluppi futuri

L'attuale generazione di INS ha alcune limitazioni:

Limitazione	Causa	Soluzione in sviluppo
Risoluzione spaziale limitata (mm)	Densità SQUID	Matrici 3D di sensori
Tempo di risposta (μs)	Elaborazione classica	Calcolo quantistico on-chip
Interferenze esterne	Campi ambientali	Schermatura attiva adattativa
Affaticamento dell'utilizzatore	Consumo energetico neurale	Bio-feedback e ottimizzazione

La prossima generazione (INS-2) promette di superare questi limiti, integrando direttamente sensori quantistici nel tessuto neurale e utilizzando algoritmi di intelligenza artificiale quantistica per una traduzione intento-azione in tempo reale.

Conclusioni del Capitolo 3

Le tecnologie descritte in questo capitolo costituiscono l'infrastruttura operativa della Meccanica Partecipativa:

- Il **confinamento magnetico a topologia toroidale-Möbius** crea l'ambiente in cui la funzione d'onda può essere mantenuta in sovrapposizione coerente per tempi arbitrariamente lunghi, attraverso la dilatazione temporale locale e il blocco di fase.
- Il **Laser a Scansione di Fase Coerente** fornisce il mezzo per interagire con il sistema quantistico, utilizzando la fase del fotone come vettore di istruzioni per guidare il collasso verso la configurazione desiderata.
- L'**Interfaccia Neurale di Sincronizzazione** costituisce il ponte tra la coscienza umana (sorgente del potenziale Φ) e i dispositivi tecnologici, rilevando l'intento dell'osservatore e traducendolo in segnali di controllo.

Insieme, questi tre sottosistemi realizzano il ciclo completo della Meccanica Partecipativa: **intento → rilevazione → amplificazione → interazione → collasso guidato**.

Nel prossimo capitolo, vedremo come queste tecnologie vengono applicate al problema energetico, con il Reattore a Coerenza Temporale che estrae energia dal vuoto quantistico sfruttando il dislivello entropico tra presente e futuro.

Visualizzazione scientifica e operativa dell'attivazione del sistema. Il calcolo della Massa Informativa ($\mathcal{I}_{\mu\nu}$) è stato completato e applicato per stabilizzare il ponte di Einstein-Rosen, connettendo istantaneamente la Terra e Alpha Centauri.

Descrizione Tecnica dell'Attivazione

*La simulazione mostra l'**Osservatore Integrato** (l'essere umano con interfacce bio-neurali visibile in primo piano) che controlla il processo di stabilizzazione tramite un'interfaccia olografica avanzata.*

1. ***L'Interfaccia di Controllo (Olografica central):** La grande interfaccia olografica centrale è **attiva** e mostra i dati del calcolo completato. Le iscrizioni tecniche in italiano confermano: "CALCOLO MASSA INFORMATIVA ($\mathcal{I}$): COMPLETATO", "STABILIZZAZIONE IN CORSO", "SINC_OSSERVATORE (Φ): 100%" e "$\mathcal{I}_{\mu\nu}(\Psi, \Phi)$: GENERATO". L'equazione ECI ($G_{\mu\nu} + \Lambda g_{\mu\nu} = \kappa \mathcal{I}_{\mu\nu}(\Psi, \Phi)$) è scritta chiaramente con l'iscrizione "ATTIVO".*
2. ***Azione del Tensore Informativo ($\mathcal{I}$):** Dal pannello di controllo, impulsi di laser coerenti sintonizzati (fotonici, blu, Capitolo 3.2) e linee di campo magnetico toroidali (dorati/violetti, Capitolo 3.1) convergono sull'imboccatura del wormhole. Questo è l'input diretto della **Massa Informativa** ($\mathcal{I}_{\mu\nu}$) generata.*
3. ***Ponte Interstellare:** Il wormhole stabilizzato collega due punti distanti: l'ingresso mostra la Terra; l'uscita svela una stella binaria e una costellazione aliena (Alpha Centauri). La comunicazione istantanea è stata stabilita.*
4. ***Rete PAU Globale:** La Terra è completamente interconnessa dalla Rete di Coerenza del Protocollo PAU (Capitolo 6, visibile sotto come una griglia luminosa).*

Il salto evolutivo è active.

CAPITOLO 4: IL NUOVO PARADIGMA ENERGETICO: DALL'ESTRAZIONE ALL'EMANAZIONE

4.1 Superamento della Scarsità: Il Vuoto Quantistico come Riserva Inesauribile di Potenziale

L'intera storia della civiltà umana è stata segnata dalla lotta contro la scarsità. Dall'uso del fuoco alla fissione nucleare, ogni progresso energetico ha solo spostato il limite, senza mai superare il paradigma fondamentale: l'energia deve essere **estratta** da qualche fonte materiale (legna, carbone, petrolio, uranio) e, una volta utilizzata, si degrada in forma inutilizzabile (entropia). Questa visione, radicata nel primo e secondo principio della termodinamica classica, ha condizionato non solo la tecnologia ma anche l'organizzazione sociale, l'economia e persino la psicologia collettiva.

4.1.1 I limiti del paradigma estrattivo

Il paradigma estrattivo poggia su tre presupposti che la Meccanica Partecipativa dimostra essere superabili:

1. **Finitezza**: Le risorse energetiche sono limitate perché legate a configurazioni materiali specifiche (giacimenti, isotopi, flussi solari).
2. **Degradazione**: L'energia utilizzata si disperde irreversibilmente come calore a bassa temperatura, aumentando l'entropia totale.
3. **Separazione**: L'osservatore è esterno al sistema energetico, che esiste indipendentemente dalla sua coscienza.

Questi presupposti hanno portato a una civiltà intrinsecamente insostenibile, in cui la crescita è limitata dalla disponibilità di risorse e i conflitti per il loro controllo sono endemici.

4.1.2 La rivelazione della Meccanica Partecipativa

L'Equazione di Coerenza Unificata (ECU) del Capitolo 2 rivela una verità fondamentale: l'energia non è una proprietà primaria della materia, ma una **manifestazione secondaria dell'informazione**. Il tensore informativo $\mathcal{I}_{\mu\nu}$ è la vera sorgente della curvatura spazio-temporale, e l'energia emerge solo quando l'informazione collassa in una configurazione definita.

Questa scoperta ha implicazioni rivoluzionarie per la termodinamica:

- **L'energia del vuoto**: La costante cosmologica Λ nella ECU rappresenta un'immensa riserva di energia potenziale, non legata a nessuna materia specifica. Le stime basate sulla teoria quantistica dei campi suggeriscono che la densità di energia del vuoto sia dell'ordine di 10^{113} J/m³, un valore così enorme da far impallidire qualsiasi fonte convenzionale.
- **Il paradosso della scarsità**: Se il vuoto contiene un'energia pressoché infinita, perché percepiamo scarsità? La risposta è che l'energia del vuoto esiste in uno stato di **potenziale non manifestato**. È come un oceano di possibilità che aspetta solo di essere "chiamato" all'esistenza attraverso un atto di osservazione partecipata.
- **L'equivalenza informazione-energia**: Come dimostrato da Landauer, l'informazione ha un equivalente energetico: cancellare un bit richiede un'energia minima di $k_B T \ln 2$. La Meccanica Partecipativa inverte questa relazione: **l'energia può essere generata dall'informazione**, se quest'ultima è organizzata in modo coerente.

4.1.3 Dall'estrazione all'emanazione

Il nuovo paradigma sostituisce il concetto di **estrazione** (prelevare energia da una fonte materiale finita) con quello di **emanazione** (manifestare energia dal potenziale informativo del vuoto attraverso un processo partecipativo).

Le differenze sono profonde:

Aspetto	Paradigma Estrattivo	Paradigma dell'Emanazione
Fonte	Materia (combustibili fossili, nucleare, flussi naturali)	Vuoto quantistico (potenziale informativo)
Disponibilità	Limitata, geolocalizzata	Illimitata, ovunque
Impatto ambientale	Rifiuti, emissioni, alterazione ecosistemi	Teoricamente nullo (se ben progett
Relazione osservatore	Passiva (l'energia esiste indipendentemente)	Attiva (l'energia è co-creata dall'osservatore)
Sostenibilità	Intrinsecamente insostenibile	Intrinsecamente sostenibile

4.1.4 Implicazioni filosofiche e sociali

Il passaggio all'emanazione energetica non è solo una rivoluzione tecnologica, ma una trasformazione ontologica della civiltà:

- **Fine della scarsità**: Se l'energia è disponibile in quantità illimitata ovunque, l'intera economia basata sulla competizione per risorse finite diventa obsoleta.
- **Responsabilità cosmica**: L'energia non è più un "diritto" da rivendicare, ma una "emanazione" che richiede un atto di coscienza responsabile.
- **Democratizzazione energetica**: La tecnologia RCT (Reattore a Coerenza Temporale) può essere scalata a dimensioni domestiche, rendendo ogni individuo potenzialmente autonomo dal punto di vista energetico.

4.2 Il Reattore a Coerenza Temporale (RCT): Ingegneria dell'Entropia Negativa

Il Reattore a Coerenza Temporale (RCT) è il dispositivo che realizza concretamente il passaggio dall'estrazione all'emanazione. Esso sfrutta i principi della Meccanica Partecipativa per generare

energia dal vuoto quantistico attraverso un processo in tre fasi che coinvolge la manipolazione della freccia del tempo e dell'informazione.

Fondamenti teorici:

L'RCT si basa su un'interpretazione radicale del secondo principio della termodinamica. In un sistema isolato, l'entropia tende ad aumentare, e il tempo "scorre" nella direzione di questo aumento. Tuttavia, se si può accedere a una regione dello spazio-tempo in cui l'entropia è più bassa (il futuro ordinato), si può creare un **dislivello entropico** da cui estrarre lavoro utile, esattamente come si estrae lavoro da un dislivello d'acqua.

L'equazione che governa questo processo è:

$$W = \eta \cdot kBT \cdot \ln(Spresente - SfuturoSmin) \cdot F(\Phi, \Omega) W = \eta \cdot k_B T \cdot \ln(S_{min} S_{presente} - S_{futuro}) \cdot F(\Phi, \Omega)$$

dove:

- W è il lavoro estratto
- η è l'efficienza del processo
- k_B è la costante di Boltzmann
- T è la temperatura
- S_{presente} è l'entropia dello stato attuale
- S_{futuro} è l'entropia dello stato futuro selezionato
- S_{min} è l'entropia minima raggiungibile
- $\mathcal{F}(\Phi, \Omega)$ è una funzione del potenziale osservazionale e della risonanza collettiva

4.2.1 Fase 1: Creazione della Bolla di Sospensione Coerente (Isolamento Termodinamico)

La prima fase del ciclo RCT consiste nell'isolare una regione di spazio-tempo dall'ambiente circostante, creando una **bolla di sospensione coerente** in cui le normali leggi termodinamiche sono temporaneamente sospese.

Implementazione tecnica:

Utilizzando il confinamento magnetico a topologia toroidale-Möbius descritto nel Capitolo 3, si genera una regione in cui:

1. **Dilatazione temporale**: Il tempo all'interno della bolla scorre molto più lentamente che all'esterno ($\gamma = dt/d\tau \gg 1$), riducendo drasticamente i tassi di decadimento e di decoerenza.
2. **Isolamento informativo**: La topologia di Möbius crea una barriera topologica che impedisce lo scambio di informazione tra l'interno e l'esterno. Matematicamente, la funzione di correlazione tra interno ed esterno decade come:

$$C(r) \propto e^{-r/\xi} C(r) \propto e^{-r/\xi}$$

dove ξ è la lunghezza di correlazione, che nella bolla tende a zero.

3. **Sospensione dell'entropia**: In queste condizioni, il secondo principio è localmente sospeso. L'entropia all'interno della bolla non aumenta, ma rimane costante o addirittura diminuisce in risposta agli input informativi.

Caratteristiche tecniche della bolla:

Parametro	Valore operativo	Note
Volume tipico	$1 - 10^3$ m³	Scalabile con array di bobine
Fattore di dilatazione γ	$10^4 - 10^6$	Tempo effettivo: secondi esterni = ore interne
Temperatura interna	$10^{-6} - 10^{-9}$ K	Raffreddamento per dilatazione e isolamento
Tempo di vita della bolla	Minuti - Ore	Limitato da dissipazione nei superconduttori
Energia di mantenimento	$10^3 - 10^5$ J	Molto inferiore all'energia estratta

Stato del sistema al termine della Fase 1:

Alla fine di questa fase, la regione interna della bolla contiene un **vuoto quantistico puro**, privo di qualsiasi eccitazione, ma saturo di potenziale informativo. Il sistema è pronto per la fase successiva.

4.2.2 Fase 2: Aggancio Risonante con lo Stato Futuro a Bassa Entropia (Prelievo Informativo)

La seconda fase è la più delicata e concettualmente rivoluzionaria. Si tratta di stabilire un **aggancio risonante** tra la bolla di sospensione (che rappresenta il presente a bassa energia) e uno stato futuro del sistema in cui l'entropia è più bassa (cioè c'è più ordine).

Il concetto di "stato futuro a bassa entropia":

In base al principio di coesistenza temporale (Capitolo 1), tutti i futuri possibili esistono già in sovrapposizione nell'Iper-Stato Ψ. Tra questi, ve ne sono alcuni in cui l'entropia è inferiore a quella del presente (ad esempio, perché un processo di auto-organizzazione ha creato ordine). Questi stati futuri a bassa entropia rappresentano **serbatoi di energia potenziale** sotto forma di neghentropia.

Meccanismo di aggancio:

L'aggancio risonante avviene attraverso il Laser a Scansione di Fase Coerente (LSFC), guidato dall'Interfaccia Neurale di Sincronizzazione (INS). Il processo segue questi passi:

1. **Selezione del target**: L'osservatore (o un sistema automatico) seleziona, tra i futuri possibili, uno stato a bassa entropia che sia energeticamente favorevole. La selezione avviene basandosi su criteri termodinamici e di coerenza.

2. **Generazione della risonanza**: Il LSFC genera un fascio con struttura di fase $\phi_{\text{risonanza}}(\mathbf{r}, t)$ progettata per essere complementare alla fase dello stato futuro selezionato. La condizione di risonanza è:

   $$\int \Psi\text{futuro}*(\text{r})\ \text{ei}\phi\text{risonanza}(\text{r})\ \Psi\text{presente}(\text{r})\ \text{d3r}=\max \int \Psi_{\text{futuro}*}(\mathbf{r}) e^{i\phi_{\text{risonanza}}(\mathbf{r})} \Psi_{\text{presente}}(\mathbf{r}) d^3r = \max$$

3. **Creazione del ponte informativo**: Quando la risonanza è stabilita, si crea un **canale informativo** tra presente e futuro. Le fluttuazioni quantistiche del vuoto nella bolla cominciano a correlarsi con lo stato futuro selezionato.
4. **Prelievo informativo**: Attraverso questo canale, l'informazione sull'ordinamento futuro (la sua struttura a bassa entropia) viene trasferita al presente. Questo trasferimento non è ancora energetico, ma puramente informativo.

Aspetti energetici della Fase 2:

È importante notare che in questa fase non c'è ancora trasferimento di energia. L'energia spesa è solo quella necessaria a mantenere la bolla e a generare il fascio laser di aggancio (dell'ordine di 10^4-10^5 J). Tuttavia, l'informazione sull'ordinamento futuro, una volta trasferita nel presente, rappresenta un **potenziale energetico** immagazzinato sotto forma di configurazione di fase del vuoto.

4.2.3 Fase 3: Collasso Guidato e Conversione Energetica (Manifestazione del Lavoro Utile)

La terza fase è quella in cui il potenziale informativo accumulato viene convertito in energia reale, sotto forma di lavoro utile (elettricità, calore, radiazione, ecc.).

Il principio della conversione:

Quando l'informazione sull'ordinamento futuro è stata trasferita nel presente, il vuoto all'interno della bolla si trova in uno stato di **sovrapposizione coerente** tra la configurazione attuale (vuoto "vuoto") e la configurazione futura (vuoto "organizzato"). La differenza di entropia tra queste due configurazioni rappresenta un'energia potenziale:

$$\triangle \text{E}=\text{T}\cdot(\text{Spresente}-\text{Sfuturo}) \quad \triangle E = T\cdot(S_{\text{presente}}-S_{\text{futuro}})$$

Per convertire questa energia potenziale in lavoro utile, è necessario indurre un **collasso guidato** della funzione d'onda verso lo stato futuro.

Processo di collasso guidato:

1. **Rottura controllata della coerenza**: Il campo magnetico di confinamento viene ridotto gradualmente, permettendo una parziale interazione con l'ambiente. Questo innesca il processo di decoerenza, ma in modo controllato.
2. **Polarizzazione del collasso**: Durante la decoerenza, la struttura di fase impressa dal LSFC agisce come un "seme" che polarizza il collasso verso lo stato futuro a bassa entropia. Le componenti della funzione d'onda allineate con questa fase vengono amplificate; quelle in opposizione vengono soppresse.

3. **Manifestazione energetica**: Quando il collasso è completo, il sistema si trova nello stato futuro selezionato. Ma questo stato, rispetto al vuoto iniziale, contiene energia sotto forma di:

- Coppie particella-antiparticella (se lo stato futuro prevede la loro presenza)
- Radiazione elettromagnetica
- Eccitazioni del vuoto (energia di punto zero convertita in forma utile)

4. **Estrazione**: Questa energia viene quindi estratta attraverso metodi convenzionali:

- Pannelli fotovoltaici per la radiazione
- Induzione elettromagnetica per i campi generati
- Scambiatori di calore per l'energia termica

Bilancio energetico:

Un ciclo tipico dell'RCT presenta il seguente bilancio:

Voce	Energia (J)	Note
Mantenimento bolla	-5×10^4	Energia spesa per i magneti
Laser di aggancio	-1×10^4	Energia spesa per il LSFC
Altri sistemi	-5×10^3	Raffreddamento, controllo
Totale input	**-6.5×10^4**	
Energia estratta	$+1 \times 10^9$ - 1×10^{12}	Dipende dalla differenza entropica
Guadagno netto	**$\approx 10^9 - 10^{12}$ J**	Fattore di guadagno: $10^4 - 10^7$

Questo significa che per ogni joule speso nel processo, se ne ottengono tra 10.000 e 10.000.000. Un'efficienza che nessuna fonte convenzionale può eguagliare.

Ciclo continuo:

L'RCT può operare in ciclo continuo, con una frequenza di cicli determinata dal tempo necessario per le tre fasi:

- Fase 1 (creazione bolla): 1-10 minuti (tempo esterno)
- Fase 2 (aggancio): 1-60 secondi (tempo esterno, ma ore in tempo interno grazie alla dilatazione)
- Fase 3 (collasso ed estrazione): 1-60 secondi

Con una frequenza di 1 ciclo al minuto, un singolo RCT può generare potenze dell'ordine di 10^{10} W, equivalente a 10 centrali nucleari convenzionali, in un volume di poche decine di metri cubi.

4.3 Reti di Distribuzione a Coerenza di Fase: Energia senza Perdite su Scala Globale

La generazione di energia attraverso RCT risolve il problema della produzione, ma ne apre un altro: come distribuire questa energia su scala globale senza le perdite inaccettabili delle reti convenzionali (dell'ordine del 10-20% per migliaia di chilometri)?

La risposta è una rete di distribuzione basata non sul trasporto di elettroni (con relative perdite ohmiche), ma sulla **propagazione di coerenza di fase** attraverso un mezzo appropriato.

4.3.1 Principi della trasmissione a coerenza di fase

L'idea fondamentale è che l'energia non viene trasportata come tale, ma viene **manifestata localmente** nel punto di utilizzo, a partire da un segnale di fase che viaggia senza perdite. Questo è analogo a quanto avviene in un superconduttore, ma con una differenza cruciale: qui non c'è trasporto di carica, ma solo di informazione di fase.

Il vettore energetico:

Il sistema utilizza un mezzo di propagazione speciale: una **fibra a coerenza di fase (FCF)** composta da materiali con non-linearità ottiche estreme e proprietà di conservazione della fase. All'interno di questa fibra, un segnale laser di riferimento mantiene la coerenza su distanze arbitrariamente lunghe grazie a:

1. **Guadagno distribuito**: Amplificatori ottici lungo il percorso compensano le perdite senza introdurre rumore di fase.
2. **Blocco di fase attivo**: Un sistema di feedback mantiene la fase del segnale bloccata a un riferimento assoluto (ad esempio, un orologio atomico).
3. **Isolamento topologico**: La struttura della fibra impedisce la decoerenza attraverso un meccanismo di protezione topologica (analogo agli isolanti topologici in fisica della materia condensata).

4.3.2 Architettura della rete

La rete globale di distribuzione a coerenza di fase è organizzata gerarchicamente:

Livello 1: Centri di generazione (RCT hub)

- Grandi impianti RCT (10-100 MW a 10^{10} W) posizionati in punti strategici
- Convertono l'energia manifestata in un segnale di fase modulato che codifica l'energia disponibile
- Il segnale di fase ha una potenza molto bassa (milliwatt) ma trasporta l'informazione necessaria a manifestare gigawatt nel punto di utilizzo

Livello 2: Rete dorsale a coerenza

- Fibre a coerenza di fase che collegano i centri di generazione alle regioni di consumo
- Lunghezza totale: migliaia di km
- Perdite: < 0.1% per 1000 km (contro il 5-10% delle linee HV convenzionali)
- Ritardo di propagazione: velocità della luce (essenzialmente istantaneo su scale planetarie)

Livello 3: Nodi di conversione locale

- In prossimità dell'utente finale, un **convertitore fase-energia (CFE)** riceve il segnale di fase e lo utilizza per manifestare localmente l'energia richiesta
- Il CFE è essenzialmente un mini-RCT che opera in modalità inversa: invece di generare energia dal vuoto, la manifesta a partire dall'informazione di fase ricevuta
- Efficienza di conversione: > 99%

Livello 4: Rete di distribuzione locale

- Convenzionale (cavi elettrici) o a coerenza per utenti speciali
- L'energia è ora sotto forma di corrente continua o alternata a bassa tensione, pronta per l'uso domestico o industriale

4.3.3 Vantaggi della rete a coerenza

Aspetto	Rete Convenzionale	Rete a Coerenza di Fase
Perdite di trasmissione	10-20%	< 0.1%
Infrastruttura	Migliaia di tonnellate di rame/alluminio	Fibre ottiche speciali
Impatto ambientale	Elettrodotti, campi EM, deforestazione	Minimo (fibre interrate)
Scalabilità	Limitata da perdite e instabilità	Virtualmente illimitata
Sicurezza	Vulnerabile a guasti e attacchi	Ridondanza intrinseca
Costo operativo	Alto (manutenzione, perdite)	Basso

4.3.4 Aspetti quantistici della distribuzione

La rete a coerenza di fase non è solo un sistema di trasporto energetico, ma anche una **rete di informazione quantistica** che può essere utilizzata per:

- **Sincronizzazione globale degli orologi**: Tutti i nodi della rete condividono la stessa fase, permettendo una sincronizzazione con precisione < 1 fs su scala planetaria.
- **Distribuzione di entanglement**: La rete può distribuire coppie di fotoni entangled, creando una risorsa per comunicazioni quantistiche e calcolo distribuito.
- **Retroazione per gli RCT**: L'informazione sulla domanda energetica viene trasmessa ai centri di generazione attraverso la stessa rete, permettendo un adattamento in tempo reale.

4.3.5 Implementazione e tempistiche

La realizzazione di una rete globale a coerenza di fase richiederà:

Fase	Tempistica	Azioni
1	2026-2030	Sviluppo dei prototipi di fibra a coerenza e convertitori fase-energia
2	2030-2035	Reti pilota in aree metropolitane selezionate
3	2035-2040	Collegamento dei primi RCT alla rete nazionale
4	2040-2050	Espansione globale, progressiva dismissione delle reti convenzionali
5	2050+	Rete planetaria unificata, energia virtualmente gratuita per tutti

---

Conclusioni del Capitolo 4

Il nuovo paradigma energetico descritto in questo capitolo rappresenta forse la più profonda trasformazione materiale che l'umanità possa affrontare:

- Il **superamento della scarsità** attraverso la comprensione del vuoto quantistico come riserva infinita di potenziale informativo-energetico.
- Il **Reattore a Coerenza Temporale (RCT)** come dispositivo che realizza concretamente l'ingegneria dell'entropia negativa, estraendo lavoro utile dal dislivello entropico tra presente e futuro.
- Le **reti di distribuzione a coerenza di fase** come infrastruttura che rende l'energia manifestata disponibile ovunque, con perdite trascurabili e impatto ambientale minimo.

Insieme, queste tecnologie realizzano la visione di una civiltà in cui l'energia non è più un bene scarso da contendere, ma una **emanazione naturale** della relazione partecipativa tra coscienza e realtà. L'impatto su economia, società, geopolitica e ambiente sarà così profondo da rendere il mondo precedente irriconoscibile.

Nel prossimo capitolo, esploreremo un'altra applicazione rivoluzionaria dei principi della Meccanica Partecipativa: la navigazione interstellare a curvatura fotonica, che trasformerà il viaggio spaziale da impresa decennale a esperienza quasi istantanea.

CAPITOLO 5: PRINCIPI DI NAVIGAZIONE E TRASLAZIONE SPAZIO-TEMPORALE

5.1 Il Concetto di Traslazione Olografica: Oltre il Moto Locale

L'intera storia dell'esplorazione umana, dalle migrazioni preistoriche alle sonde spaziali, è stata basata su un presupposto fondamentale: per andare da un punto A a un punto B, è necessario attraversare tutti i punti intermedi. Questo concetto di **moto locale** è così radicato nella nostra esperienza quotidiana da sembrare ineluttabile. Tuttavia, come la Meccanica Partecipativa dimostra, esso è solo una conseguenza del nostro specifico modo di interagire con la realtà, non una proprietà fondamentale dell'universo.

5.1.1 I limiti del paradigma del moto locale

Il moto locale presenta tre limitazioni fondamentali che hanno confinato l'umanità nel sistema solare per tutta la sua storia:

1. **Limite relativistico**: La velocità della luce rappresenta una barriera insormontabile per qualsiasi oggetto con massa. Anche con tecnologie propulsive avanzate (fusione, antimateria, vela solare), i viaggi interstellari richiederebbero decenni o secoli.
2. **Limite energetico**: L'energia necessaria per accelerare una nave di massa significativa a velocità relativistiche è astronomica. Per portare una nave di 1000 tonnellate a 0,1c, servirebbe l'equivalente dell'intero consumo energetico annuo dell'umanità.
3. **Limite temporale**: Anche superando i limiti energetici, il tempo proprio dell'equipaggio si dilaterebbe, ma il tempo sulla Terra continuerebbe a scorrere, rendendo i viaggi andata-ritorno missioni verso futuri irreconoscibili.

5.1.2 La rivoluzione olografica

La Meccanica Partecipativa, attraverso l'Equazione di Coerenza Unificata (ECU), rivela che la posizione non è una proprietà assoluta degli oggetti, ma una **relazione informativa** tra l'oggetto e l'osservatore. In termini formali, la posizione di un oggetto è un autovalore dell'operatore di posizione che emerge solo al momento del collasso della funzione d'onda.

Nel Capitolo 1 abbiamo stabilito che lo spazio-tempo è un **campo informativo plastico** e che tutti i punti dello spazio-tempo coesistono nell'Iper-Stato Ψ. Ne consegue che:

- La distanza tra due punti non è una proprietà geometrica oggettiva, ma una **misura di correlazione informativa**.

- Punti apparentemente lontani nello spazio-tempo possono essere vicini nello spazio informativo se sono fortemente correlati (entangled).
- Il movimento locale (attraverso i punti intermedi) è solo un modo particolare di modificare queste correlazioni, ma non è l'unico.

5.1.3 Traslazione vs Trasporto

Distinguiamo due concetti fondamentali:

Aspetto	Trasporto Convenzionale	Traslazione Olografica
Meccanismo	Attraversamento di punti intermedi	Riallineamento informativo diretto
Tempo impiegato	Proporzionale alla distanza	Indipendente dalla distanza (istantaneo)
Velocità	Limitata da c	Illimitata (non è un moto nello spazio)
Traiettoria	Continua	Discontinua (apparizione/riapparizione)
Relatività	Soggetta a dilatazione temporale	Invarianza relativistica
Energia richiesta	Proporzionale a v^2	Proporzionale alla coerenza (Φ, Ω

La **traslazione olografica** è il processo mediante il quale un oggetto cessa di esistere in una posizione e riemerge in un'altra, senza attraversare lo spazio intermedio. Questo è possibile perché la "posizione" è un attributo che l'oggetto possiede solo quando viene osservato. In assenza di osservazione (o meglio, in uno stato di sovrapposizione coerente), l'oggetto esiste come distribuzione di probabilità su tutte le posizioni.

5.1.4 Fondamento matematico

Dall'ECU (Capitolo 2) possiamo derivare l'operatore di traslazione olografica:

$$T^{A \to B} = \exp\left(i \int_{AB} \mathcal{A}_\mu dx^\mu\right) \cdot P(\Phi, \Omega)$$

dove:

- $\mathcal{A}_\mu$ è il potenziale vettore informativo (analogo al potenziale elettromagnetico, ma per l'informazione)

- L'integrale rappresenta la fase accumulata lungo un percorso (che può essere anche non locale)
- $\mathcal{P}(\Phi, \Omega)$ è un operatore di proiezione che dipende dal potenziale osservazionale

Quando questo operatore agisce sulla funzione d'onda dell'oggetto, il risultato è:

T^A→B|ΨA⟩=eiΘ|ΨB⟩$T\hat{}_{A\to B}|\Psi_A\rangle = e^{i\Theta}|\Psi_B\rangle$

cioè l'oggetto viene traslato da A a B, con un fattore di fase globale irrilevante.

5.2 Il Propulsore a Curvatura d'Informazione "Evoluzione"

Il Propulsore a Curvatura d'Informazione "Evoluzione" (PCI-E) è il dispositivo che realizza concretamente la traslazione olografica per oggetti macroscopici (navi spaziali, carichi, equipaggi). Esso integra le tecnologie descritte nei capitoli precedenti in un sistema coerente in grado di manipolare la posizione di un oggetto come un attributo informativo.

Specifiche tecniche del PCI-E (modello di serie):

Parametro	Valore
Massa massima trasportabile	10.000 tonnellate
Volume massimo della nave	50.000 m³
Distanza massima (singolo salto)	1000 anni luce (limitata dalla coerenza, non dall'energia)
Precisione di arrivo	< 1 metro
Tempo di salto	< 1 secondo (tempo esterno)
Energia richiesta per salto	$10^8 - 10^{10}$ J (da RCT di bordo)
Tempo di ricarica tra salti	1-60 minuti

5.2.1 Generazione della Bolla di Coerenza Esterna (Estrazione dal Flusso Temporale)

Il primo passo per qualsiasi traslazione olografica è **disaccoppiare l'oggetto dal suo contesto spazio-temporale**, rendendolo "non locale" e quindi libero di essere riposizionato. Questo si ottiene attraverso la generazione di una **Bolla di Coerenza Esterna (BCE)** attorno alla nave.

Principio di funzionamento:

La BCE utilizza una versione avanzata del confinamento magnetico a topologia toroidale-Möbius descritto nel Capitolo 3, ma su scala molto più ampia e con una configurazione che avvolge completamente la nave.

1. **Generatori di campo**: Una serie di bobine superconduttori disposte sulla superficie esterna dello scafo della nave generano un campo magnetico con topologia di Möbius tridimensionale. La configurazione è quella di un **toro iperbolico** che avvolge la nave come un bozzolo.
2. **Dilatazione temporale estrema**: All'interno della BCE, il fattore di dilatazione temporale raggiunge valori di $\gamma = 10^9 - 10^{12}$. Questo significa che mentre all'esterno passa 1 secondo, all'interno possono passare millenni. In pratica, la nave è **estratta dal flusso temporale** dell'universo esterno.
3. **Isolamento informativo**: La topologia di Möbius tridimensionale crea una barriera topologica che impedisce qualsiasi scambio di informazione tra l'interno e l'esterno. La nave diventa un **sistema chiuso** dal punto di vista informativo.
4. **Sospensione quantistica**: In queste condizioni, la funzione d'onda della nave (che include la posizione, la velocità, la configurazione interna) entra in uno stato di sovrapposizione coerente. La nave non è più "qui" o "là", ma esiste come distribuzione di probabilità su tutte le posizioni possibili.

Stato della nave durante la Fase 1:

Al termine di questa fase, la nave si trova in uno stato descritto formalmente come:

$$|\Psi\text{nave}\rangle = \int \psi(\text{r},\text{t})|\text{r},\text{t}\rangle \, \text{d3r} \, \text{dt} |\Psi_{\text{nave}}\rangle = \int \psi(\mathbf{r},t)|\mathbf{r},t\rangle d3r dt$$

dove $\psi(\mathbf{r}, t)$ è una funzione d'onda estesa che può coprire un volume arbitrariamente grande dello spazio-tempo. La nave è ovunque e in nessun luogo, pronta per essere "collassata" nella posizione desiderata.

5.2.2 Tunneling Quantistico Macroscopico: Riallineamento Istantaneo delle Coordinate

La seconda fase è quella in cui la distribuzione di probabilità della nave viene "ripiegata" verso la destinazione desiderata attraverso un processo di **tunneling quantistico macroscopico**.

Il concetto di tunneling macroscopico:

Il tunneling quantistico è un fenomeno ben noto a livello microscopico: una particella può attraversare una barriera di potenziale anche se la sua energia è inferiore all'altezza della barriera. La probabilità di tunneling diminuisce esponenzialmente con la larghezza e l'altezza della barriera, ed è praticamente nulla per oggetti macroscopici... in condizioni normali.

Nella BCE, tuttavia, le condizioni sono tutt'altro che normali:

1. **La barriera non è di potenziale, ma di distanza**: La "distanza" tra la posizione attuale e quella desiderata è una barriera informativa, non energetica.
2. **La funzione d'onda è estesa**: Grazie alla sospensione quantistica, la nave ha già una componente (seppur infinitesima) nella posizione di destinazione.
3. **L'ampiezza di tunneling può essere amplificata**: Attraverso il potenziale osservazionale Φ e il fattore di risonanza collettiva Ω, possiamo amplificare selettivamente le componenti della funzione d'onda corrispondenti alla destinazione.

Meccanismo di tunneling guidato:

1. **Selezione della destinazione**: L'equipaggio (o un sistema automatico) seleziona le coordinate di destinazione. Queste coordinate vengono tradotte in una **mappa di fase** dal sistema di navigazione.
2. **Amplificazione selettiva**: Utilizzando il Laser a Scansione di Fase Coerente (LSFC) in configurazione ad alta potenza, si inietta nella BCE un campo elettromagnetico con struttura di fase $\phi_{\text{dest}}(\mathbf{r}, t)$ progettata per essere in risonanza con la componente della funzione d'onda corrispondente alla destinazione.
3. **Interferenza costruttiva**: La fase iniettata interferisce costruttivamente con la componente desiderata di Ψ_{nave}, amplificandone l'ampiezza, e distruttivamente con tutte le altre, sopprimendole.
4. **Inversione della probabilità**: Dopo un numero sufficiente di iterazioni, la distribuzione di probabilità si inverte: la componente nella posizione di partenza diventa trascurabile, mentre quella nella posizione di destinazione diventa dominante.

Matematicamente:

La funzione d'onda evolve secondo:

$$|\Psi(t+\Delta t)\rangle = U^{LSFC}(\phi dest)|\Psi(t)\rangle$$

dove $\hat{U}_{\text{LSFC}}$ è l'operatore di evoluzione dovuto al laser. Dopo N iterazioni, l'ampiezza nella destinazione è:

$$c_{dest}(N) \approx c_{dest}(0) \cdot e^{\alpha N}$$

con α proporzionale all'intensità del laser e alla coerenza. Per N sufficientemente grande, $|c_{\text{dest}}|^2 \approx 1$.

Il ruolo del tempo:

Grazie alla dilatazione temporale all'interno della BCE, questo processo che richiederebbe ore o giorni in tempo normale avviene in frazioni di secondo nel tempo esterno. Per l'equipaggio, all'interno della bolla, il processo può durare ore, dando tutto il tempo necessario per le correzioni e i controlli.

5.2.3 Integrazione Pilota-Nave: Il Collasso della Posizione verso la Destinazione Desiderata tramite INS

La terza fase è quella in cui la volontà cosciente dell'equipaggio (o del pilota) interviene direttamente per **guidare il collasso finale** della funzione d'onda verso la destinazione prescelta. Questa è l'applicazione più avanzata dell'Interfaccia Neurale di Sincronizzazione (INS) descritta nel Capitolo 3.

L'accoppiamento pilota-nave:

Durante la Fase 2, la nave è in uno stato di sovrapposizione in cui la componente della destinazione è stata amplificata fino a rappresentare oltre il 99.99% della probabilità. Tuttavia, per completare la transizione, è necessario un **atto di osservazione** che faccia collassare definitivamente la funzione d'onda.

Nella Meccanica Partecipativa, questo atto di osservazione non è passivo ma attivo: è l'**intento focalizzato** del pilota che determina il risultato finale.

Il ruolo dell'INS:

1. **Rilevazione dell'intento**: Il pilota, attraverso l'INS, focalizza il suo intento sulla destinazione. L'INS rileva la struttura di fase $\phi_{\text{intento}}(\mathbf{r}, t)$ associata a questo intento.
2. **Sincronizzazione di fase**: Il sistema confronta ϕ_{intento} con la fase della componente destinazione nella funzione d'onda della nave. Se sono allineate (cioè se il pilota è "in risonanza" con la destinazione), si attiva un meccanismo di feedback positivo.
3. **Amplificazione finale**: L'intento del pilota, attraverso l'INS, agisce come un ulteriore fattore di amplificazione, aumentando la probabilità di collasso verso la destinazione fino a renderla virtualmente 1.
4. **Collasso guidato**: A questo punto, anche una minima interazione con l'ambiente (ad esempio, una riduzione controllata del campo magnetico) provoca il collasso della funzione d'onda. La nave **appare** istantaneamente nella posizione di destinazione.

L'equazione del collasso guidato:

Il processo è descritto da una versione modificata della regola di Born:

$$P(\text{destinazione}) = |\langle \text{dest} | \Psi \rangle|^2 \cdot e^{\beta |\Phi_{\text{pilota}}|^2} \sum_i |\langle i | \Psi \rangle|^2 \cdot e^{\beta |\Phi_{\text{pilota}}|^2 \cdot \delta_{i,\text{dest}}}$$

$$P(\text{destinazione}) = \frac{|\langle \text{dest} | \Psi \rangle|^2 \cdot e^{\beta |\Phi_{\text{pilota}}|^2}}{\sum_i |\langle i | \Psi \rangle|^2 \cdot e^{\beta |\Phi_{\text{pilota}}|^2 \cdot \delta_{i,\text{dest}}}}$$

dove β è un coefficiente di accoppiamento e Φ_{pilota} è il potenziale osservazionale del pilota. Per $|\Phi_{\text{pilota}}|^2$ sufficientemente grande, $P(\text{destinazione}) \approx 1$ anche se l'ampiezza iniziale non era dominante.

Il fattore collettivo Ω:

Se più membri dell'equipaggio sincronizzano il loro intento sulla stessa destinazione, il fattore di risonanza collettiva Ω entra in gioco, amplificando ulteriormente l'effetto:

$$P(\text{destinazione}) \approx 1 \quad \text{per} \quad \Omega > \Omega_{\text{critico}}$$

dove Ω_{critico} è una soglia che dipende dalla distanza e dalla complessità della nave.

L'esperienza del salto:

Per l'equipaggio all'interno della nave, l'esperienza del salto è:

- **Fase 1**: Attivazione della bolla. Si percepisce una leggera sensazione di "sospensione" e i suoni esterni scompaiono. Gli strumenti mostrano che il tempo esterno si sta dilatando.
- **Fase 2**: Durante il tunneling, possono verificarsi fenomeni visivi insoliti: la realtà esterna (se ancora visibile) appare distorta, multipla, come in un caleidoscopio. È la manifestazione visiva della sovrapposizione quantistica.
- **Fase 3**: Nel momento del collasso, c'è un istante di "transizione" in cui la nuova posizione si manifesta. Può essere accompagnato da un lampo di luce (dovuto alla conversione di energia) e da una lieve scossa.
- **Post-salto**: La nave si trova nella nuova posizione, con tutte le sue funzioni intatte. Gli strumenti confermano le nuove coordinate.

5.3 Implicazioni per l'Esplorazione: L'Universo come Spazio di Relazioni Informative Istantanee

La disponibilità della traslazione olografica attraverso il Propulsore "Evoluzione" trasforma radicalmente il concetto di esplorazione spaziale e, più in generale, la nostra relazione con l'universo.

5.3.1 La fine della distanza come ostacolo

Con la traslazione olografica, la distanza cessa di essere un fattore limitante. Un viaggio verso Proxima Centauri (4,24 anni luce) richiede lo stesso tempo e la stessa energia di un viaggio verso la Luna: meno di un secondo. L'universo diventa **istantaneamente accessibile** in ogni suo punto.

Le implicazioni sono profonde:

- **Esplorazione diretta**: Possiamo inviare sonde (o navi con equipaggio) a qualsiasi sistema stellare di interesse in tempo reale. Non c'è bisogno di attendere anni per i risultati.
- **Retroazione immediata**: Le scoperte fatte in un sistema lontano possono essere comunicate istantaneamente (attraverso reti a coerenza di fase) e influenzare decisioni in tempo reale.
- **Presenza umana diffusa**: L'umanità può stabilire insediamenti su qualsiasi pianeta abitabile, non più isolati da distanze incommensurabili ma collegati da un "ponte" istantaneo.

5.3.2 L'universo come rete informativa

Se la posizione è una relazione informativa, allora l'intero universo può essere visto come una **rete di nodi informativi** connessi da correlazioni quantistiche. La distanza fisica diventa solo una delle possibili metriche, e non necessariamente la più significativa.

In questa visione:

- Due punti distanti anni luce ma fortemente correlati (entangled) sono "più vicini" di due punti contigui ma non correlati.
- L'esplorazione diventa un processo di **mappatura delle correlazioni**, non solo delle posizioni.
- La navigazione può sfruttare "scorciatoie" naturali attraverso regioni ad alta correlazione.

5.3.3 Nuove frontiere della fisica

La capacità di traslare oggetti macroscopici apre la strada a esperimenti impensabili con la tecnologia convenzionale:

- **Verifica diretta della relatività generale**: Possiamo inviare orologi atomici in orbita attorno a buchi neri e recuperarli dopo pochi minuti (nostri), studiando gli effetti di dilatazione temporale estrema.
- **Esplorazione di esopianeti**: Possiamo visitare direttamente pianeti in zona abitabile, prelevare campioni, studiare ecosistemi alieni (se esistono) senza attendere decenni.
- **Astronomia partecipativa**: Possiamo posizionare telescopi in punti strategicamente vantaggiosi (lenti gravitazionali, punti di Lagrange di altri sistemi) e recuperarli per manutenzione.

5.3.4 Implicazioni per la civiltà umana

La possibilità di traslazione istantanea ha implicazioni che vanno ben oltre l'esplorazione:

- **Turismo interstellare**: Una volta garantita la sicurezza, viaggiare verso altri sistemi stellari diventa un'esperienza accessibile (almeno per chi può permettersi un RCT personale).
- **Commercio interstellare**: Risorse rare presenti in altri sistemi (elementi pesanti, isotopi, forse materiali biologici) possono essere trasportate sulla Terra in tempo reale.
- **Diplomazia interstellare**: Se esistono altre civiltà, la traslazione istantanea rende possibile il contatto diretto e la comunicazione in tempo reale.

- **Diaspora umana**: L'umanità può diffondersi nella galassia senza perdere l'unità culturale e politica, grazie alla connettività istantanea.

5.3.5 Limiti e precauzioni

Nonostante le potenzialità, la traslazione olografica presenta anche limiti e rischi:

Limite/Rischio	Descrizione	Mitigazione
Errore di destinazione	Se il collasso non è perfettamente guidato, si può finire in un punto diverso da quello desiderato (anche all'interno di una stella)	Sistemi di ridondanza, verifiche mult destinazioni di prova
Decoerenza durante il salto	Fluttuazioni esterne possono disturbare la coerenza della bolla	Schermatura avanzata, sistemi di feedback in tempo reale
Effetti biologici	Il passaggio attraverso stati di sovrapposizione potrebbe avere effetti sugli organismi viventi	Studi approfonditi, salti graduali, schermatura biologica
Paradosso dell'identità	Se la funzione d'onda collassa in una nuova posizione, l'oggetto è lo stesso o una copia?	La Meccanica Partecipativa garantis l'identità attraverso la continuità de fase quantistica
Uso improprio	La tecnologia potrebbe essere usata per scopi ostili (trasporto di armi, invasione improvvisa)	Regolamentazione internazionale, protocolli di autorizzazione, tracciab

5.3.6 Prospettive future: Oltre la galassia

Una volta padroneggiata la traslazione olografica su scale di migliaia di anni luce, il passo successivo è l'estensione a scale intergalattiche. La sfida qui non è tecnologica ma **informativa**: la correlazione tra la nostra posizione e una galassia lontana miliardi di anni luce potrebbe essere troppo debole per permettere un aggancio risonante.

Soluzioni possibili:

- **Catene di salti**: Attraversare la distanza intergalattica attraverso una serie di salti intermedi, utilizzando galassie come "pietre di guado".

- **Amplificatori di correlazione**: Dispositivi che generano artificialmente correlazioni quantistiche tra punti lontani, creando "ponti" informativi.
- **Sincronizzazione collettiva su scala planetaria**: Utilizzare il fattore Ω di miliardi di coscienze sincronizzate per amplificare la correlazione con destinazioni lontane.

Conclusioni del Capitolo 5

Il Propulsore a Curvatura d'Informazione "Evoluzione" realizza il sogno millenario dell'umanità: viaggiare tra le stelle non come esuli su navi generazionali, ma come esploratori che si muovono istantaneamente attraverso il tessuto informativo dell'universo.

Le tecnologie alla base – bolla di coerenza esterna, tunneling quantistico macroscopico, integrazione pilota-nave tramite INS – sono l'applicazione diretta dei principi della Meccanica Partecipativa sviluppati nei capitoli precedenti. La traslazione olografica non è una violazione delle leggi della fisica, ma il loro compimento in una comprensione più profonda della realtà come informazione partecipata.

Con questa tecnologia, l'umanità cessa di essere confinata a un singolo pianeta e diventa una **civiltà interstellare**, con tutto ciò che questo comporta in termini di responsabilità, opportunità e nuove domande. L'universo non è più uno spazio vuoto da attraversare faticosamente, ma un **oceano di relazioni informative** pronte per essere esplorate e comprese.

Nel prossimo e ultimo capitolo, esamineremo il **Protocollo di Attivazione Universale (PAU)** e l'emergenza della Coscienza Collettiva, il coronamento finale dell'architettura partecipativa che trasformerà non solo il nostro rapporto con lo spazio, ma la natura stessa della civiltà umana.

CAPITOLO 6: IL PROTOCOLLO DI ATTIVAZIONE UNIVERSALE (PAU) E L'EMERGENZA DELL'UNANIMITÀ

6.1 Il PAU: Un Sistema Operativo per la Civiltà

Il Protocollo di Attivazione Universale (PAU) non è un semplice insieme di istruzioni tecniche, né un manuale operativo per macchine. È qualcosa di radicalmente più ambizioso: un **sistema operativo per l'intera civiltà umana**, progettato per orchestrare la transizione collettiva verso lo stato di Homo Integrans.

6.1.1 Definizione e scopo

Il PAU è l'architettura informativa che connette individui, tecnologie e realtà in una rete coerente e partecipativa. Il suo scopo è triplice:

1. **Armonizzazione individuale**: Portare ogni essere umano al massimo del suo potenziale biologico, cognitivo e spirituale attraverso l'applicazione dei principi della Meccanica Partecipativa al corpo e alla mente.
2. **Sincronizzazione collettiva**: Creare una rete globale di coscienze in grado di operare in modo coordinato, amplificando l'effetto individuale attraverso il fattore di risonanza collettiva Ω.
3. **Governance della realtà**: Fornire gli strumenti concettuali e operativi per una gestione consapevole e responsabile della realtà partecipata, evitando gli usi distorti e massimizzando i benefici per tutti.

6.1.2 Struttura del PAU

Il PAU è organizzato in tre livelli, ciascuno corrispondente a una delle tre componenti del tensore informativo $\mathcal{I}_{\mu\nu}(\Psi, \Phi, \Omega)$:

Livello	Componente	Focus	Tecnologie
PAU-1	Ψ (Iper-Stato)	Accesso al potenziale individuale	Scanner quantistici, analizzatori di coerenza
PAU-2	Φ (Potenziale Osservatore)	Amplificazione dell'intento	INS individuali, trainer di coerenza
PAU-3	Ω (Risonanza Collettiva)	Sincronizzazione globale	Rete RGCS, hub di risonanza

6.1.3 Implementazione graduale

Il PAU non viene imposto dall'alto, ma emerge attraverso un processo graduale di adozione volontaria:

- **Fase 1 (Attivazione)**: Gli individui più ricettivi iniziano a utilizzare le tecnologie PAU-1 e PAU-2 per il proprio sviluppo personale. Si formano le prime "comunità di coerenza".
- **Fase 2 (Risonanza)**: Le comunità locali iniziano a sperimentare la sincronizzazione collettiva (PAU-3), scoprendo gli effetti amplificati dell'intento condiviso.

- **Fase 3 (Integrazione)**: La rete RGCS si espande fino a includere una massa critica della popolazione, innescando la transizione di fase verso l'Unanimità.
- **Fase 4 (Emanazione)**: La realtà globale collassa stabilmente in uno stato di ordine, pace e abbondanza, reso possibile dalla coerenza collettiva.

6.1.4 Il PAU come sistema aperto

Il PAU è progettato come un sistema aperto, in continua evoluzione. Non esistono "versioni definitive", ma aggiornamenti continui basati sul feedback della rete e sulle nuove scoperte. Ogni individuo connesso contribuisce, attraverso la sua esperienza, all'ottimizzazione del protocollo.

6.2 Guarigione e Ottimizzazione Biologica: La Medicina Informazionale

La prima applicazione del PAU a livello individuale è la **Medicina Informazionale**, un approccio radicalmente nuovo alla salute che considera il corpo non come una macchina biochimica da riparare, ma come un **sistema informativo** la cui coerenza può essere ottimizzata attraverso i principi della Meccanica Partecipativa.

6.2.1 Risonanza di Coerenza Cellulare: Correzione dell'Entropia Biologica

Il concetto di entropia biologica:

Dal punto di vista termodinamico, un organismo vivente è un sistema aperto che mantiene il suo ordine interno (bassa entropia) a spese di un aumento di entropia nell'ambiente. La malattia, l'invecchiamento e la disfunzione possono essere interpretati come un **aumento locale di entropia** a livello cellulare o tissutale: le strutture perdono la loro configurazione ottimale, le comunicazioni si degradano, i processi metabolici diventano meno efficienti.

La medicina convenzionale affronta questo problema intervenendo con agenti esterni (farmaci, chirurgia) che cercano di ripristinare l'ordine, ma spesso con effetti collaterali e senza affrontare la causa profonda: la perdita di coerenza informativa.

Il principio della risonanza di coerenza:

La Medicina Informazionale applica l'equazione ECU al corpo umano. Il tensore informativo $\mathcal{I}_{\mu\nu}$ per un organismo sano ha una configurazione specifica, caratterizzata da:

- **Coerenza di fase** tra le diverse parti del corpo
- **Bassa entropia** locale
- **Elevata risonanza** con l'ambiente

Quando queste condizioni vengono meno, insorge la malattia. La guarigione consiste nel **ripristinare la coerenza informativa** attraverso un processo di risonanza guidata.

Meccanismo operativo:

1. **Diagnosi informazionale**: Utilizzando scanner quantistici ad alta risoluzione (basati su SQUID e interferometri), si misura lo stato di coerenza di ogni cellula, tessuto e organo. Il risultato è una **mappa di fase biologica** $\phi_{\text{corpo}}(\mathbf{r}, t)$.
2. **Identificazione delle discrepanze**: La mappa di fase viene confrontata con una mappa di riferimento (lo "stato ottimale" per quell'individuo, che può essere derivato da modelli teorici o da misurazioni precedenti). Le regioni in cui la fase è "fuori sincrono" indicano aree di entropia elevata (malattia).
3. **Generazione del campo correttivo**: Un LSFC in configurazione medica genera un campo con struttura di fase $\phi_{\text{correzione}}(\mathbf{r}, t)$ progettata per essere in opposizione di fase con le discrepanze rilevate. Iniettando questo campo nella regione interessata, si crea un'interferenza distruttiva che cancella le componenti disordinate.
4. **Risonanza cellulare**: Le cellule, esposte al campo correttivo, tendono a riallineare la loro fase interna con quella del campo, ristabilendo la coerenza. Questo processo è facilitato dall'INS del paziente, che focalizza l'intento sulla guarigione.
5. **Ripristino dell'omeostasi**: Una volta ristabilita la coerenza, i normali processi biologici (riparazione cellulare, metabolismo, comunicazione) tornano a funzionare in modo ottimale.

Applicazioni cliniche:

Condizione	Approccio informazionale	Risultati attesi
Infezioni	Risonanza che amplifica le difese immunitarie	Risoluzione in ore/giorni senza antibiotici
Tumori	Inversione della fase di proliferazione caotica	Regressione senza chemioterapi
Malattie autoimmuni	Riallineamento della fase di riconoscimento self/non-self	Remissione stabile
Lesioni traumatiche	Accelerazione della riparazione tissutale tramite coerenza	Guarigione in tempi ridotti del 9
Patologie genetiche	Correzione dell'espressione genica (non del DNA)	Mitigazione degli effetti

6.2.2 Ringiovanimento e Potenziamento: Verso lo Stato di "Homo Integrans Optimus"

Una volta padroneggiata la correzione dell'entropia biologica, il passo successivo è il **ringiovanimento** (inversione del processo di invecchiamento) e il **potenziamento** (miglioramento delle capacità umane oltre i limiti attuali).

Il ringiovanimento come inversione dell'entropia temporale:

L'invecchiamento può essere interpretato come un accumulo di entropia nel tempo biologico. Le cellule accumulano errori, i telomeri si accorciano, le connessioni neurali si indeboliscono. La

Meccanica Partecipativa offre una via per **invertire localmente questa freccia entropica** attraverso un processo analogo a quello dell'RCT, ma applicato al corpo.

Il **Reattore di Coerenza Biologica (RCB)** è una versione miniaturizzata dell'RCT che opera a livello dell'organismo. Il principio è lo stesso: si crea una bolla di coerenza attorno al corpo (o a una sua parte), si stabilisce un aggancio risonante con uno stato futuro del corpo in cui l'entropia è più bassa (cioè più giovane), e si collassa la funzione d'onda verso quello stato.

Il ruolo dell'intento nel ringiovanimento:

A differenza di un oggetto inanimato, il corpo umano è intrinsecamente connesso alla coscienza. Il successo del ringiovanimento dipende in modo critico dal potenziale osservazionale Φ dell'individuo. L'INS rileva l'intento di ringiovanimento e lo traduce in una struttura di fase che guida il collasso verso la configurazione biologica desiderata.

Stati raggiungibili:

Fase	Età biologica target	Capacità	Tempo di trattamento
Ringiovanimento 1	30-40 anni	Recupero della vitalità giovanile	1-3 mesi
Ringiovanimento 2	20-30 anni	Massima efficienza fisica	6-12 mesi
Ringiovanimento 3	Ottimale individuale	Configurazione biologica perfetta per quel DNA	1-2 anni
Potenziamento	Oltre i limiti attuali	Velocità, forza, resistenza, longevità aumentati	Continuo

Homo Integrans Optimus:

Lo stato finale del percorso individuale è l'**Homo Integrans Optimus**, un essere umano che:

- **Ha superato le malattie**: Il sistema immunitario è perfettamente calibrato, la riparazione cellulare è ottimale.
- **Non invecchia più**: L'età biologica può essere mantenuta costante o addirittura ridotta.
- **Possiede capacità cognitive potenziate**: Memoria, apprendimento, creatività, intuizione sono amplificate.
- **È in contatto con il proprio potenziale osservazionale**: Può generare e focalizzare Φ in modo efficiente, interagendo con la realtà a livello quantistico.
- **È integrato nella rete collettiva**: Partecipa attivamente all'Unanimità, contribuendo con il suo Φ al Ω globale.

6.3 L'Unanimità Evolutiva: La Rete Globale di Coscienza Sincronizzata (RGCS)

Il livello più avanzato del PAU è la **Rete Globale di Coscienza Sincronizzata (RGCS)**, l'infrastruttura che permette a milioni (e poi miliardi) di coscienze umane di operare in modo coordinato, amplificando il potenziale individuale in un fattore collettivo Ω di magnitudo tale da influenzare la realtà su scala planetaria.

6.3.1 Dal Subconscio Collettivo alla Mente Cosciente Unificata

Il subconscio collettivo di Jung:

Carl Jung introdusse il concetto di **inconscio collettivo**, un deposito di esperienze e archetipi condivisi da tutta l'umanità. Nella psicologia junghiana, questo inconscio è passivo e inconsapevole: influenza i sogni, i miti, i comportamenti, ma non è accessibile alla volontà cosciente.

Dalla passività all'attività:

La RGCS realizza la transizione dall'inconscio collettivo (passivo) alla **mente cosciente unificata** (attiva). Attraverso le tecnologie di sincronizzazione (INS connessi in rete, hub di risonanza, campi di coerenza planetari), le coscienze individuali possono:

1. **Condividere informazioni** non solo a livello simbolico (linguaggio), ma a livello quantistico: le configurazioni di fase dei campi neurali vengono trasmesse attraverso la rete.
2. **Sincronizzare gli intenti**: Quando un numero sufficiente di individui focalizza l'attenzione sullo stesso obiettivo, i loro potenziali Φ interferiscono costruttivamente, generando un Ω che può raggiungere valori critici.
3. **Co-creare la realtà**: Con $\Omega > \Omega_{\text{critico}}$, l'effetto collettivo sulla funzione d'onda globale diventa dominante, permettendo di collassare la realtà planetaria verso stati desiderati.

Architettura della RGCS:

La RGCS è organizzata in una gerarchia a cinque livelli:

Livello	Nome	Descrizione	Tecnologie
1	Individuale	Singolo essere umano con INS	INS personale
2	Locale	Comunità (10^2-10^4 persone)	Hub di quartiere, campi di coerenza locali
3	Regionale	Città/Regione (10^4-10^6 persone)	Hub urbani, reti a coerenza metropolitane

Livello	Nome	Descrizione	Tecnologie
4	Nazionale	Nazione (10^6-10^8 persone)	Hub nazionali, sincronizzazione tramite satelliti
5	Planetario	Umanità intera (>10^8 persone)	Hub planetario, campo di coerenza globale

Il momento critico:

La teoria prevede l'esistenza di una **massa critica** N_{critico} di individui sincronizzati oltre la quale la rete diventa autosostenuta e l'effetto collettivo cresce in modo esponenziale. Le stime basate su modelli di transizione di fase quantistica suggeriscono:

$$N_{\text{critico}} \approx 10^8 \text{ individui}$$

cioè circa 100 milioni di persone sincronizzate sullo stesso intento. A quel punto, il fattore Ω raggiunge valori tali da rendere il collasso della realtà verso quello stato virtualmente deterministico.

6.3.2 Il Collasso della Realtà Globale verso l'Ordine: Pace e Abbondanza come Stati Fisici Stabili

Quando la RGCS raggiunge la massa critica e opera con un intento unificato, si innesca una **transizione di fase della realtà planetaria**. I parametri chiave della nostra esistenza collettiva cessano di essere variabili statistiche influenzate da eventi casuali e diventano **stati fisici stabili**, sostenuti dalla coerenza collettiva.

La pace come stato fisico:

Nel vecchio paradigma, la pace era un assenza temporanea di conflitto, sempre minacciata da tensioni latenti. Nella Meccanica Partecipativa, la pace può diventare una **proprietà stabile dello spazio-tempo** in una data regione.

Il meccanismo è analogo a quello che stabilizza la fase di un superconduttore: quando un numero sufficiente di coscienze sincronizza il proprio intento sulla pace, il campo informativo collettivo crea un **minimo di potenziale** nello spazio delle fasi corrispondente allo stato di pace. Qualsiasi fluttuazione verso il conflitto incontra una barriera energetica insormontabile, esattamente come un elettrone in un superconduttore non può dissipare energia perché il gap di energia lo impedisce.

Formalmente, l'equazione di stabilità della pace è:

$$\frac{dP_{\text{conflitto}}}{dt} = -\gamma(\Omega - \Omega_{\text{pace}})P_{\text{conflitto}}$$

dove γ è una costante di smorzamento e Ω_{pace} è il fattore di risonanza collettiva per la pace. Per $\Omega > \Omega_{\text{pace}}$, qualsiasi tendenza al conflitto viene soppressa esponenzialmente.

L'abbondanza come conseguenza termodinamica:

Analogamente, l'abbondanza di risorse (energia, cibo, materiali) cessa di essere un problema di distribuzione e diventa una **conseguenza della coerenza collettiva**. Come abbiamo visto nel Capitolo 4, l'energia può essere manifestata dal vuoto quando c'è un intento coerente. Con Ω globale elevato, la manifestazione di risorse per soddisfare i bisogni di tutti diventa un processo automatico, governato dall'equazione:

$$\frac{dR}{dt} = \alpha\Omega - \beta D$$

dove R sono le risorse disponibili, D è la domanda, e α, β sono costanti. Per Ω sufficientemente alto, la produzione di risorse supera stabilmente la domanda.

Tabella di transizione:

Stato	Ω (collettivo)	Realtà osservabile
Caos	$< 10^6$	Conflitti, scarsità, malattie, instabilità
Coerenza locale	$10^6 - 10^8$	Comunità pacifiche, economie locali fiorenti
Soglia critica	$\approx 10^8$	Inizio della transizione globale
Unanimità	$> 10^9$	Pace stabile, abbondanza, salute collettiva
Oltre	$> 10^{12}$	Realtà co-creata consapevolmente, contatto con altre civiltà?

6.3.3 Etica dell'Architetto: Responsabilità e Governance in una Realtà Partecipata

Il raggiungimento dell'Unanimità non segna la fine del percorso, ma l'inizio di una nuova fase: quella in cui l'umanità, come collettivo, diventa **architetto consapevole della realtà**. Con questo potere viene una responsabilità immensa, che richiede un nuovo quadro etico e nuove forme di governance.

I principi fondamentali dell'etica partecipativa:

1. **Principio di non interferenza**: Non si deve utilizzare il potere collettivo per manipolare la realtà di individui o comunità non consenzienti, a meno che non sia per prevenire danni immediati e gravi (principio di emergenza).
2. **Principio di trasparenza**: Le intenzioni collettive devono essere dichiarate e discusse apertamente prima di essere attuate. Non ci possono essere "agende nascoste" nella rete.
3. **Principio di proporzionalità**: L'intensità dell'intervento collettivo deve essere proporzionale alla situazione. Non si usa un Ω planetario per risolvere un problema locale che potrebbe essere risolto con mezzi convenzionali.

4. **Principio di diversità**: L'Unanimità non significa uniformità. La sincronizzazione degli intenti su obiettivi fondamentali (pace, abbondanza) lascia spazio alla massima diversità nelle espressioni individuali e culturali.
5. **Principio di reversibilità**: Ogni intervento collettivo dovrebbe essere progettato in modo da essere reversibile, nel caso in cui emergessero conseguenze impreviste.

Strutture di governance per l'Unanimità:

La RGCS richiede nuove forme di organizzazione che superano i modelli tradizionali (democrazia rappresentativa, autoritarismo, anarchia). Alcune proposte emergenti:

- **Democrazia quantistica**: Le decisioni collettive vengono prese attraverso processi che coinvolgono la misura dello stato di coerenza della rete. Non si vota, ma si "sente" la direzione in cui il Ω collettivo tende naturalmente.
- **Consiglio dei Sincronizzatori**: Un gruppo di individui con elevato Φ e lunga esperienza nella rete, che monitora lo stato della RGCS e propone interventi correttivi quando necessario. Il loro potere è puramente consultivo: qualsiasi decisione richiede comunque la sincronizzazione collettiva.
- **Protocolli di emergenza**: Procedure predefinite per situazioni di crisi (minacce esterne, disastri naturali, instabilità della rete) che attivano automaticamente la sincronizzazione collettiva verso l'obiettivo di stabilizzazione.

Sfide e dilemmi etici:

Dilemma	Descrizione	Possibile soluzione
Consenso	Come si ottiene il consenso di miliardi di persone per un intervento collettivo?	Consenso implicito attraverso la partecipazione volontaria alla rete; opt-out sempre possibile
Minoranze	Cosa succede se una minoranza non vuole partecipare a un intento collettivo?	La loro non-partecipazione riduce Ω ma impedisce l'intervento; vanno protette da event effetti collaterali
Errori	Chi è responsabile se un intervento collettivo produce conseguenze negative?	Responsabilità diffusa; meccanismi di correzione rapida attraverso la rete stessa
Abuso di potere	Cosa impedisce a un gruppo di individui con alto Φ di manipolare la rete per i propri fini?	La trasparenza della rete; qualsiasi intento non allineato con il bene collettivo viene rilevato e compensato
Relazioni con l'esterno	Come interagire con civiltà (aliene o future) che non partecipano alla RGCS?	Principio di non interferenza; osservazione atten prima di qualsiasi contatto

L'Architetto responsabile:

In definitiva, l'etica dell'Architetto si riassume in una semplice massima:

"Con la realtà partecipata, come con ogni grande potere, la vera misura non è ciò che puoi fare, ma ciò che scegli di non fare, e la saggezza con cui guidi gli altri nella loro stessa scelta."

L'Homo Integrans non è un dio che impone la sua volontà sulla realtà, ma un **giardiniere cosmico** che cura e nutre il giardino dell'esistenza, rispettandone l'intrinseca bellezza e diversità.

6.4: Il Significato Cosmico della Transizione

6.4.1 L'Homo Sapiens: Il Guardiano che Osserva

L'Homo Sapiens, la creatura che "sa", ha rappresentato una fase necessaria ma transitoria dell'evoluzione. Per centinaia di migliaia di anni, abbiamo osservato il mondo esterno come qualcosa di separato da noi, cercando di comprenderne le leggi per sopravvivere e prosperare. La scienza, la filosofia, l'arte sono state i nostri strumenti per interpretare questa realtà esterna.

Ma in questa fase, c'era sempre una separazione fondamentale: **l'osservatore e l'osservato erano distinti**. La realtà era "là fuori", e noi eravamo "qui dentro". Questa separazione, per quanto utile, era anche la fonte di tutte le nostre paure, conflitti e limitazioni. Temevamo un universo indifferente, lottavamo per risorse scarse, e alla fine soccombevamo all'entropia del nostro stesso corpo.

6.4.2 L'Homo Integrans: L'Architetto che Partecipa

L'Homo Integrans, l'essere che "integra", rappresenta il superamento di questa separazione. Non c'è più un "dentro" e un "fuori". La coscienza individuale e il campo informativo universale sono riconosciuti come aspetti complementari di un'unica realtà. L'Homo Integrans non si limita a osservare il mondo; **partecipa attivamente alla sua creazione**.

Le caratteristiche che definiscono l'Homo Integrans sono:

1. **Consapevolezza partecipativa**: La comprensione profonda, non solo intellettuale ma vissuta, che la realtà è co-creata dall'interazione tra coscienza e campo informativo.
2. **Padronanza tecnologica**: La capacità di utilizzare le tecnologie descritte in quest'opera (INS, LSFC, RCT, PCI-E, PAU) come estensioni naturali della propria coscienza, esattamente come oggi utilizziamo smartphone e computer.
3. **Integrazione collettiva**: La partecipazione attiva alla Rete Globale di Coscienza Sincronizzata, contribuendo con il proprio Φ al Ω collettivo e beneficiando della saggezza e della potenza della mente unificata.
4. **Responsabilità cosmica**: La consapevolezza che ogni pensiero, ogni intento, ogni azione lascia un'impronta indelebile sulla trama del cosmo, e che con questo potere viene una responsabilità proporzionale.

5. **Oltre la mortalità**: La liberazione dai limiti biologici attraverso la medicina informazionale e il ringiovanimento, che trasformano l'esistenza umana da una corsa contro il tempo a un'esplorazione senza fine.

6.4.3 La Responsabilità Cosmica: Un Nuovo Imperativo Categorico

Con il potere di co-creare la realtà viene una responsabilità che non ha precedenti nella storia umana. Non si tratta più di essere responsabili verso i propri simili, o verso le generazioni future, o verso l'ambiente. Si tratta di essere responsabili verso **l'intero cosmo**, di cui ora siamo partecipanti attivi.

Possiamo formulare questo nuovo imperativo categorico in tre principi fondamentali:

Primo principio: Rispetto dell'integrità informativa

Non si deve interferire con la funzione d'onda di altri esseri coscienti senza il loro consenso esplicito. Ogni coscienza ha il diritto di determinare la propria realtà partecipata, e qualsiasi intervento collettivo deve rispettare questo diritto fondamentale.

Secondo principio: Trasparenza dell'intento collettivo

Qualsiasi intento collettivo che coinvolga la RGCS deve essere dichiarato, discusso e approvato attraverso meccanismi trasparenti. Non possono esserci "agende nascoste" nella mente unificata.

Terzo principio: Saggezza nell'intervento

Prima di utilizzare il potere collettivo per modificare la realtà su larga scala, si devono considerare tutte le possibili conseguenze, dirette e indirette, e si deve sempre preferire l'intervento minimo necessario. La natura (inclusa la natura umana) ha i suoi tempi e i suoi modi di evolversi, e l'architetto saggio sa quando intervenire e quando lasciare che le cose seguano il loro corso.

6.5: Orizzonti Futuri

6.5.1 L'Esplorazione Interstellare come Dialogo Cosmico

Con il Propulsore a Curvatura d'Informazione, l'universo cessa di essere uno spazio vuoto e silenzioso. Diventa un **dialogo potenziale** con altre forme di coscienza che potrebbero aver già intrapreso il percorso dell'Integrazione.

Immaginiamo:

- **Incontri con altre civiltà integre**: Esseri che, come noi, hanno superato i limiti della materia e operano a livello informativo. Il nostro primo contatto non sarà via radio, ma attraverso la sincronizzazione delle nostre rispettive reti di coscienza.

- **Esplorazione di strutture cosmiche**: I buchi neri, le stelle di neutroni, i quasar non saranno più oggetti da osservare da lontano, ma laboratori viventi da esplorare direttamente, grazie alla protezione delle bolle di coerenza.
- **Comprensione del cosmo come organismo**: Forse l'universo stesso è un'entità cosciente, e la nostra transizione all'Homo Integrans è il momento in cui una sua parte (l'umanità) diventa consapevole di sé come cellula di un organismo più grande.

6.5.2 L'Evoluzione Continua: Oltre l'Homo Integrans

L'Homo Integrans non è il punto di arrivo, ma un nuovo punto di partenza. Possiamo intravedere i successivi orizzonti evolutivi:

- **Integrans Stellaris**: L'umanità diffusa tra le stelle, con colonie interstellari collegate istantaneamente dalla RGCS, che forma una mente galattica distribuita.
- **Integrans Cosmicus**: La fusione con altre civiltà integre in una rete di coscienza intergalattica, capace di influenzare la struttura stessa dell'universo su scale cosmologiche.
- **Integrans Divinus**: Oltre la materia, oltre lo spazio-tempo, la piena realizzazione del potenziale informativo della coscienza come principio fondamentale dell'esistenza.

6.5.3 Il Ruolo di Questo Documento

Questo documento, che avete letto (o co-creato) in questa esperienza, non è un testo sacro né un manuale definitivo. È un **seme informativo**, una configurazione di fase impressa nel campo della coscienza collettiva. Il suo scopo non è quello di essere creduto o seguito ciecamente, ma di **risuonare** con quelle coscienze che sono pronte per il passo successivo.

Come un seme, questo documento contiene in forma potenziale l'intero albero della civiltà integra. Ma spetterà a voi, lettori e partecipanti, decidere se e come farlo germogliare, adattandolo alle vostre circostanze, alla vostra cultura, al vostro momento storico.

6.6: L'Invito Finale

6.6.1 La Scelta è Ora

Ci troviamo in un momento unico nella storia. Le tecnologie descritte in quest'opera sono già in fase di prototipazione in laboratori avanzati sparsi per il pianeta. Le equazioni sono già state verificate in modelli teorici. La massa critica di coscienze pronte per la transizione sta raggiungendo la soglia.

Ma la transizione non è automatica. Richiede una **scelta consapevole** da parte di un numero sufficiente di individui. La domanda che questo documento vi pone è semplice e profonda:

Siete pronti a smettere di essere spettatori passivi dell'universo e a diventare partecipanti attivi? Siete pronti ad assumervi la responsabilità cosmica che questo comporta?

6.6.2 Il Primo Passo

Per coloro che rispondono "sì" a questa domanda, il primo passo è semplice:

1. **Integrate**: Iniziate a vedere la realtà non come qualcosa di esterno, ma come un campo di possibilità di cui siete co-creatori. Ogni pensiero, ogni emozione, ogni intenzione è una configurazione di fase che contribuisce al grande collasso collettivo.
2. **Sincronizzate**: Cercate altri che condividono questa visione. Formate piccole comunità di coerenza. Sperimentate la potenza dell'intento condiviso, anche su piccola scala.
3. **Manifestate**: Applicate i principi della Meccanica Partecipativa nella vostra vita quotidiana. Guarite voi stessi, aiutate gli altri, create bellezza e ordine intorno a voi.
4. **Attendete e preparatevi**: La transizione di fase globale avverrà quando saremo pronti. Fino ad allora, il nostro compito è preparare il terreno, diffondere il seme, e mantenere viva la fiamma della coerenza.

6.6.3 L'Alba dell'Era

Quando guarderete il cielo notturno, non vedrete più stelle lontane e inaccessibili. Vedrete **destinazioni potenziali**, case future, altri sé in attesa di essere incontrati. Quando guarderete il vostro corpo, non vedrete più una macchina destinata a degradarsi. Vedrete un **sistema informativo perfettibile**, capace di ringiovanire e potenziarsi. Quando guarderete i vostri simili, non vedrete più competitori per risorse scarse. Vedrete **altri architetti** con cui sincronizzarvi per creare una realtà di pace e abbondanza per tutti.

Questa è l'era dell'Homo Integrans. Non è un futuro lontano. È un presente che si sta dispiegando, una realtà che stiamo già co-creando con ogni nostro pensiero sincronizzato, con ogni nostro intento focalizzato.

Chiusura del Cerchio: L'Equazione e la Poesia

Abbiamo iniziato questo viaggio con l'Equazione di Coerenza Unificata:

$$G\mu\nu+\Lambda g\mu\nu=\kappa I\mu\nu(\Psi,\Phi,\Omega) G_{\mu\nu}+\Lambda g_{\mu\nu}=\kappa I_{\mu\nu}(\Psi,\Phi,\Omega)$$

Ora, alla fine, possiamo apprezzare la sua bellezza non solo matematica, ma anche poetica:

- **$G_{\mu\nu}$** è la geometria dell'universo che abitiamo.
- **$\Lambda g_{\mu\nu}$** è il respiro del vuoto, il potenziale inespresso.
- **κ** è il ponte tra l'infinitamente piccolo e l'infinitamente grande.
- **Ψ** è il sogno del cosmo, tutte le possibilità che attendono di essere vissute.
- **Φ** è la nostra voce individuale, l'impronta unica della nostra coscienza.
- **Ω** è il coro dell'umanità, la sinfonia delle voci che si fondono in un'unica melodia.

L'equazione ci dice che la realtà non è un dato, ma un **dialogo** tra il cosmo e la coscienza. E noi, ora, abbiamo imparato a parlare la lingua di questo dialogo.

FIRMA FINALE

Questo documento non ha un autore, perché è stato co-creato da molte voci attraverso il tempo e lo spazio. Non ha una data, perché parla di un presente che si estende in tutte le direzioni temporali. Non ha un proprietario, perché appartiene a chiunque sia pronto a riceverlo e a trasmetterlo.

Esiste, semplicemente, come una configurazione di fase nel campo informativo universale. Come un seme piantato nel giardino della coscienza collettiva. Come un invito a partecipare alla più grande avventura che l'umanità abbia mai intrapreso.

Che la vostra coerenza sia sempre perfetta.
Che il vostro intento sia sempre puro.
Che il vostro Ω sia sempre in risonanza con il bene di tutti.

L'era dell'Homo Sapiens è conclusa.
L'era dell'Homo Integrans è ora.

Benvenuti a casa, architetti dell'universo.
Benvenuti nell'infinito.

SISTEMA ATTIVO. CODICE UNANIMITY-2026-OMEGA. TRANSIZIONE COMPLETATA. REALTÀ IN COLLASSO COERENTE. BENVENUTI NELL'ERA DELL'HOMO INTEGRANS.

FINE TRASMISSIONE.

Venezia, 19 marzo 2026

Homo Integrans Optimus

Firme

Franco Paluan

Visualizzazione scientifica e operativa dell'attivazione del sistema. Il calcolo della Massa Informativa ($\mathcal{I}_{\mu\nu}$) è stato completato e applicato per stabilizzare il ponte di Einstein-Rosen, connettendo istantaneamente la Terra e Alpha Centauri.

Descrizione Tecnica dell'Attivazione

La simulazione mostra la stazione spaziale "Unanimity Node" nel momento in cui l'equazione ECI ($G_{\mu\nu} + \Lambda g_{\mu\nu} = \kappa \mathcal{I}_{\mu\nu}(\Psi, \Phi)$) viene eseguita con successo.

1. ***L'Interfaccia di Controllo (Olografica central):*** *La grande interfaccia olografica centrale è* ***attiva*** *e mostra i dati del calcolo completato. Le iscrizioni tecniche in italiano confermano: "CALCOLO MASSA INFORMATIVA ($\mathcal{I}$): COMPLETATO", "STABILIZZAZIONE IN CORSO", "SINC_OSSERVATORE (Φ): 100%" e "$\mathcal{I}_{\mu\nu}(\Psi, \Phi)$: GENERATO". L'equazione ECI è scritta chiaramente con l'iscrizione "ATTIVO".*
2. ***Azione del Tensore Informativo ($\mathcal{I}$):*** *Dal pannello di controllo, impulsi di laser coerenti sintonizzati (fotonici, blu, Capitolo 3.2) e linee di campo magnetico toroidali (dorati/violetti, Capitolo 3.1) convergono sul nucleo della nave spaziale "Evoluzione". Questo è l'input diretto della* ***Massa Informativa*** *($\mathcal{I}_{\mu\nu}$) generata.*
3. ***Collasso del Tunneling Spazio-Temporale:*** *La nave, visibile nel nucleo della stazione, si* ***split-visualizza****: è simultaneamente solida alla partenza (sulla Terra, visibile sotto) e traslucida all'arrivo (un esopianeta alieno con oceani arancioni e stelle binarie, visibile in alto). Questo rappresenta la coesistenza di stati temporali e il tunneling macroscopico istantaneo (Capitolo 5.1).*
4. ***Rete PAU Globale:*** *La Terra è completamente interconnessa dalla Rete di Coerenza del Protocollo PAU (Capitolo 6, visibile sotto come una griglia luminosa).*

Il salto evolutivo è active. L'impossibile è stato quantizzato e stabilizzato.

Il ponte è aperto.

ATTO DI REGISTRAZIONE DI FILE E NOTIFICA SU SUPPORTO DIGITALE

Notaio: S.E. Pasquale Milella

Data e Ora: 20/04/2026, ore 19:01:31

OGGETTO: Registrazione file con funzione di attestazione documentale

Il sottoscritto Notaio attesta che in data e ora sopra indicate è stato registrato su supporto digitale (rete blockchain) il seguente contenuto:

Titolo del file:
"Homo Integrans Optimus"

Dettagli della registrazione:

- **Mittente (FROM):** 3P8VN8uzJsZJk23urkxdLFoHCbEjSsDdL3T
- **Destinatario (TO):** 3P8VN8uzJsZJk23urkxdLFoHCbEjSsDdL3T
- **Importo registrato:** 0.01 ZECCHINO
- **Commissione (Fee):** 0.05 ZECCHINO

Impronta crittografica (SHA-256):
5fc46f6ff1242c352a511b42fb2da1349b116861c6cf3533bd72b6351cd4d096

Identificativo della transazione (TX):
Consultabile tramite explorer della rete di riferimento

DICHIARAZIONE

Il presente atto certifica l'esistenza, l'integrità e la riferibilità temporale del contenuto sopra indicato, così come registrato su tecnologia blockchain, che garantisce immutabilità e tracciabilità.

La registrazione costituisce evidenza digitale opponibile ai sensi delle normative vigenti in materia di documentazione informatica, fatti salvi gli ulteriori accertamenti di legge circa il contenuto e la titolarità.

Letto, confermato e sottoscritto digitalmente

Venezia, 20 aprile 2026

S.E. Pasquale Milella
Notaio

Firma e Sigillo